

Vysoká škola strojnícka a textilná v Liberci
nositeľka Radu práce

Fakulta strojnícka

Katedra obrábania a montáže

obor 23 - 07 - 8 - strojárenská technológia

zameranie: obrábanie a montáž

KONTROLA OBRABANÝCH POVRCHOV MODULACNOU
LASEROVOU TECHNIKOU

KOM - OM - 565

Peter Wagner

Vedúci práce: Ing. RNDr. Lubomír Sodomka CSc.

Počet strán: 62

Počet príloh: 10

Počet tabuľiek: 3

Počet obrázkov: 49

Dátum: 10. mája 1988

Vysoká škola strojní a textilní Fakulta: strojní

Katedra: obrábění a montáže Školní rok: 1987/88

ZADÁNÍ DIPLOMOVÉ PRÁCE (PROJEKTU, UMĚLECKÉHO DÍLA, UMĚLECKÉHO VÝKONU)

pro **Petra Wagnera**
obor **23 - 07 - 8**

Vedoucí katedry Vám ve smyslu nařízení vlády ČSSR č. 90/1980 Sb., o státních závěrečných zkouškách a státních rigorozních zkouškách, určuje tuto diplomovou práci:

Název tématu: Kontrola obráběných povrchů modulační laserovou technikou

Zásady pro vypracování:

1. Shrňte poznatky o metodách kontroly obráběných povrchů se zvláštním zřetelem na optické metody
2. Proveďte návrh a konstrukci využití modulační laserové techniky k měření kvality obráběných válcových povrchů
3. Výkresovou dokumentaci zadejte do dílen VŠST
4. Vyroběné části vyzkoušejte a proměřte několik válcových vzorků
5. Ověřte funkci a přesnost drsnosti měřených válcových povrchů na elektrodynamickém snímači Hommel tester.

U 329/88 S

VYSOKÁ ŠKOLA STROJNÍ A TEXTILNÍ
Ústřední knihovna
LIBEREC 1, STUDENTSKÁ 5
PSČ 461 17

Rozsah grafických prací: dle potřeby zadání

Rozsah průvodní zprávy: cca 40 stran textu

Seznam odborné literatury:

Manzl, J.: Kandidátská disertační práce, VŠST, 1985

Ali-Kara-Fallah.: Diplomová práce VŠST Liberec 1985

Sodomka, L.: Strojářská ročenka, Bratislava, Alfa 1984

Sodomka, L.: Govindaraj, M.: Strojírenství 33, 1983, č. 8

Govindaraj, M.: Kandidátská práce VŠST Liberec 1982

Sodomka, L.: JMO 1982 č. 1

Sando, T et al.: IEEE J. Quantum Electronics QE-31967 No. 11

Vedoucí diplomové práce: RNDr. Lubomír Sodomka, CSc - VŠST Liberec

Datum zadání diplomové práce: 30.9.1987

Termín odevzdání diplomové práce: 10.5.1988



Doc. Ing. Jaromír Gazda, CSc
Vedoucí katedry

Prof. Ing. Vladimír Prášil, DrSc.
Děkan

v Liberci dne 30.9. 1987

**"Miestoprísiažne prehlasujem, že som diplomovú
prácu vypracoval samostatne s použitím uvedenej literatúry."**

V Liberci dňa 10. mája 1988

Peter Wagner

Peter Wagner

Ďakujem vedúcemu diplomovej práce s. RNDr. Lubomírovi
Sodomkovi CSc., za poskytnutie cenných rád a pomoc pri rie-
šení problémov, za odborné vedenie a pripomienky, ktoré mi
pomohli pri spracovaní zadanej témy.

O b s a h

	str.
Miestopísané prehlásenie	3
Obsah	4
Podakovanie	6
Úvod	7
1.0.0. Akosť povrchu	10
1.1.0. Drsnosť povrchu	11
1.1.1. Systém strednej čiary M	13
1.1.2. Systém obalovej čiary E	14
1.1.3. Metóda matematických rozdielov	15
2.0.0. Prístroje a metódy na kontrolu drsnosti obrábaných povrchov	19
2.0.1. Kvalitatívne a subjektívne porovnávanie drsnosti povrchu	19
2.1.0. Porovnávanie mikroskopy	19
2.2.0. Kvantitatívne-číselné vyhodnotenie drsnosti povrchu	20
2.3.0. Prístroje s prevodom mechanickým	20
2.4.0. Prístroje s prevodom mechanicko-optickým	21
2.5.0. Prístroje elektromechanické	21
2.6.0. Prístroje mechanicko-pneumatické	23
2.7.0. Prístroje optické	24
2.7.1. Metóda svetelného rezu	24
2.7.2. Metóda interferenčná	25
2.7.3. Elektrónový mikroskop	30
3.0.0. Laserová technika	31
3.1.0. Podstata teórie optických modulačných metód	31
4.0.0. Vlastné riešenie	35
4.1.0. Návrh metódy merania	35

4.2.0. Návrh a konštrukcia zariadenia	36
4.3.0. Použité prístroje na hodnotenie kvality obrábaných valcových povrchov	39
4.4.0. Jednofrekvenčný He - Ne laser LA 1000	40
4.4.1. Hlavica laseru typ LA 120	41
4.4.2. Elektronická časť laseru typ LA 110	41
4.5.0. Lineárny zosilovač Tesla NAZ 417	43
4.6.0. VN zdroj NETZGERÄT Pho 1 /Carl Zeiss Jena/	43
4.7.0. Súradnicový zapisovač BAK 5T	44
4.8.0. Laserové meracie zariadenie na meranie kmitania súčasti textilných strojov	44
4.9.0. Skúšobné vzorky	47
5.0.0. Postup merania	48
5.0.1. Skrátený prehľad nastavenia prístrojov pri meraní	49
6.0.0. Namerané hodnoty	51
7.0.0. Zhodnotenie merania Záver	59
Použitá literatúra	61
	62

Úvod

XVII. zjazd KSČ vytýčil program ďalšieho dynamického rozvoja našej socialistickej spoločnosti. Komunistická strana Československa sleduje dosiahnutie ďalšieho zvýšenia životnej úrovne a upevnenie sociálnych istôt, vytváranie podmienok pre uspokojovanie nových, kvalitativne vyšších potrieb občanov, pre harmonický rozvoj osobnosti a prehlbovanie socialistického spôsobu života.

Uspokojovanie rastúcich potrieb národného hospodárstva a zvyšovanie efektívnosti výroby v 8. päťročnici bude rozhodujúcim spôsobom určované rozvojom priemyselnej výroby, ktorá sa má do roku 1990 zvýšiť o 15 až 18 %.

Prvoradú pozornosť v rozvoji priemyselnej výroby je nutné venovať štruktúre výroby a jej efektívнемu využitiu.

Vychádzajúc z Hlavných smerov hospodárskeho a sociálneho rozvoja ČSSR na roky 1986 - 1990, výhľadove až do roku 2000, budú sa národné podniky podieľať na plnení záverov XVII. zjazdu KSČ konkrétnymi úlohami, zameranými predovšetkým na oblasť elektronizácie, komplexnej mechanizácie a automatizácie, rozvoj jadrovej energetiky, rozvoj výroby nových druhov materiálov, rozvoj a využitie biotechnológií ako aj tvorbu a ochranu životného prostredia a zavádzanie progressívnych technológií umožňujúcich zvýšenie produktivity práce, pokles materiálovej a energetickej náročnosti výroby a zlepšovanie pracovných podmienok.

Rozvoj strojárenstva ako nositeľa vedeckotechnického rozvoja vo všetkých odvetviach národného hospodárstva a hlavného exportného odvetvia zamerat' na vytvorenie základných podmienok pre podstatné zvyšovanie technickej úrovne výroby na základe realizácie najmodernejších výsledkov vedecko-technického rozvoja/od zadania po realizáciu/, inováciu stro-

jom s cieľom získania parametrov svetovej úrovne, zavádzanie progresívnych technológií zabezpečujúcich zvyšovanie efektívnosti, znižovanie spotreby materiálov a energie, rozvoj komplexnej mechanizácie a automatizácie, elektronizácie strojov a prípravu podmienok pre rozvoj strojov novej generácie.

Tieto úlohy kladú veľké nároky na strojné vybavenie podnikov. Preto je rozhodujúce venovať veľkú pozornosť kvalite jednotlivých súčiastok, z ktorých sa moderné stroje skladajú. Toto sa dá dosiahnuť novými progresívnymi metódami merania, ktoré využívajú modulačnú laserovú techniku. Preto sa do popredia stále viac a viac tlačí otázka presného merania kvality obrobenných povrchov. Dôležitou technologickou otázkou je kontrola výrobkov počas výroby a na konci výrobného procesu/priebežná a výstupná kontrola/.

Kontrola polotovarov a hotových súčiastok má dvojaký účel. Kontrolujeme jednak tvar, rozmery a mikrogeometriu funkčných povrchov, jednak stav materiálu a akosti povrchovej vrstvy funkčných plôch, či zodpovedajú funkčným požiadavkám.

Obidva druhy kontroly sa od seba značne odlišujú nie len metódami merania, ale aj požiadavkami na odborné vedomosti kontrolóra.

Základnou disciplínou pri kontrole rozmerov a akosti povrchu/rovinnosti, drsnosti, kruhovitosti, valcovitosti/ je strojárenská metrologia.

Moja diplomová práca sa zaobráva navrhnutím a konštrukciou zariadenia, ktoré využíva modulačnú laserovú techniku k meraniu kvality obrábaných valcových povrchov.

V ďalšej časti sú zhrnuté poznatky o metodach kontroly obrábaných povrchov so zreteľom na optické metódy, ďalej je urobený návrh konštrukcie na meranie kvality obrábaných val-

cových povrchov pomocou modulačnej laserovej techniky a nako-
niec sú prevedené výsledky merania drsnosti meraných vál-
cových povrchov na elektrodynamickom snímači Hommel tester.

1.0.0. Akosť povrchu /1, 3/

Zvyšovanie výkonnosti, spoľahlivosti a životnosti strojov kladie zvýšené požiadavky na kvalitu výroby a to ako z hľadiska rozmerovej presnosti, tak i z hľadiska kvality obrobenej plochy. Akosť obrobeneho povrchu v presnom strojárstve je dôležitým činiteľom, lebo má vplyv na presnosť a trvanливosť stroja. Hrubší a nerovnomerne obrobení povrch sa pri chode stroja časom vyhladí, čím vzniká nežiadúca vôľa medzi jednotlivými strojovými súčiastkami, stroj tak stráca presnosť a stáva sa hlučnejším.

Pri posudzovaní akosti povrchu strojových súčiastok treba rozlišovať druh, vlnitosť/rovinnosť/ a drsnosť povrchu.



Obr. 1/ Znázornenie mikronerovnosti a makronerovnosti povrchu

Druh povrchu v podstate môže byť:

- a/ neopracovaný - súčiastky odliate, kované, lisované, valcované a pod.
- b/ opracovaný - súčiastky s povrhom pilovaným, sústruženým, hobľovaným, frézovaným, škrabánym, lapovaným a pod.

Vlnitosť povrchu sú nepravidelnosti povrchu/obr.1/, ktoré nie sú zapríčinené len obrábacím nástrojom, ale spoločným

pôsobením sústavy stroj - nástroj - obrobok. Vlnitost' posudzujeme podľa toho, ako sa v celom jej rozsahu dodržal presný geometrický tvar plochy. Neobrobený povrch, alebo len ručne obrobený povrch je obyčajne vlnitý. Bežným obrábaním sa dosiahne povrch s malou vlnitostou. Dokonalý rovnomerný povrch sa získá len veľmi presnou strojovou výrobou, prípadne dodatočným ručným prilícaním - škrabáním.

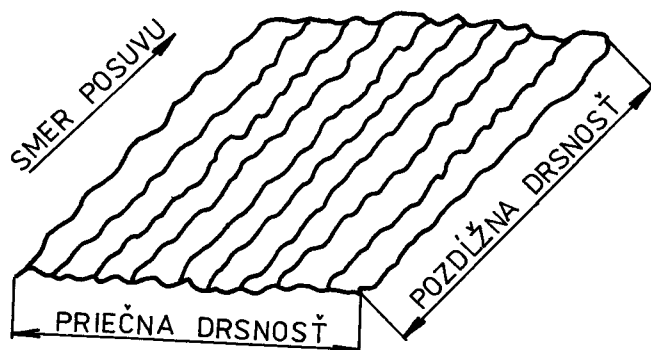
Drsnosť povrchu posudzujeme podľa tvaru, vzhľadu a hĺbky stôp, ktoré zostanú na povrchu súčiastky po nástroji pri obrábaní. Drsný povrch, napr. po hrubovacom noži, má hmataťelné a dobre viditeľné stopy po nástroji. Hladký povrch, napr. po hladiacom noži, stopy po nástroji má len mälo viditeľné. Dokonale hladký povrch, napr. po jemnom brúsení, nemá viditeľné stopy po nástroji, ich tvar možno vidieť pod lupou. Drsnosť povrchu je teda daná stopami, ktoré na obrobenej ploche necháva nástroj. Označuje sa ako mikrogeometrická nerovnosť. Naproti tomu vlnitost' je vlastne odchylka od pravidelného geometrického tvaru opracovanej plochy, podobne ako v dutosť, vydutosť, alebo iné zakrivenie rovinnej plochy, a nazýva sa makrogeometrická nerovnosť.

1.1.0. Drsnosť povrchu /5/

Drsnosťou povrchu sa rozumie stupeň jeho priblíženia k povrchu dokonale hladkému.

Drsnosť povrchu/mikrogeometrická nerovnosť/ je súhrn nerovností skutočného povrchu s roztečou menšou než je zodpovedajúca medzná rozteč nerovnosti.

Drsnosť povrchu nie je vo všetkých smeroch plôch rovnaká a preto rozlišujeme drsnosť pozdĺžnu /v smere rezu/ a priečnu /kolmú na smer rezu/. Najčastejšie sa zistuje len priečna drsnosť, ktorá závisí predovšetkým od tvaru rezného hrotu nástroja a od jeho posuvu vzhľadom na súčiastku.



Obr. 2/ Znázornenie priečnej a pozdížnej drsnosti

Drsnosti povrchu môžu byť merané ako úchylky zisteného profilu od vztiahutej čiary v medziach stanoveného úseku.

Drsnosť povrchu je daná stopami, ktoré na obrobenej ploche zanecháva nástroj. Veľkosť a druh tejto nerovnosti je určený spôsobom obrábania, fyzikálnymi vlastnosťami obrábaného materiálu, plastickou deformáciou materiálu, trením chrbta noža po obrobenej ploche, tuhostou nástroja, kvalitou a tvarom hrotu, veľkosťou zaoblenia špičky noža, reznými podmienkami, hlavne však veľkosťou reznej rýchlosťi.

Drsnosť nemá väčšinou u dokončovacích operácií určitý smer, tak ako to býva u operácií, ktoré majú stály smer rezného pohybu a posuvu /sústruženie, frézovanie, hoblovanie, brúsenie/.

Vadami povrchu nazývame náhodné nepravidelnosti nerovnosti povrchu. Môžu to byť buď rysky, hrboľky, trhlinky, jamky a pod., ktoré vznikli vadou materiálu alebo jeho štruktúrou, alebo náhodným poškodením.

Pri meraní drsnosti povrchu sa vychádza z rovinných rezov povrhom. Tu je definovaných niekoľko geometrických kritérií pre hodnotenie drsnosti povrchu.

Geometrický profil je rez geometrickým povrhom rovinou vhodne položenou k tomuto povrchu.

Skutočný profil je rez skutočným povrhom rovinou vhodne položenou k jeho geometrickému povrchu.

Zistený profil je rez zobrazeným povrchom rovinou vhodne položenou k jeho geometrickému povrchu.

Vztažná čiara je čiara, ktorá je základňou pre výhodnocovanie zisteného profilu a ku ktorej sa vzťahujú číselné odchylky tohto profilu.

Rozostup nerovnosti je vzdialenosť nerovnosti zisteného profilu.

Dĺžka meraného profilu L je najmenšia dĺžka úseku zisteného profilu, potrebná pre stanovenie charakteristických číselných hodnôt drsnosti povrchu.

Číselné hodnoty parametrov drsnosti považujeme za statické údaje namerané od základni, jednoznačne stanovené dohodou. Boli navrhnuté tri základné systémy:

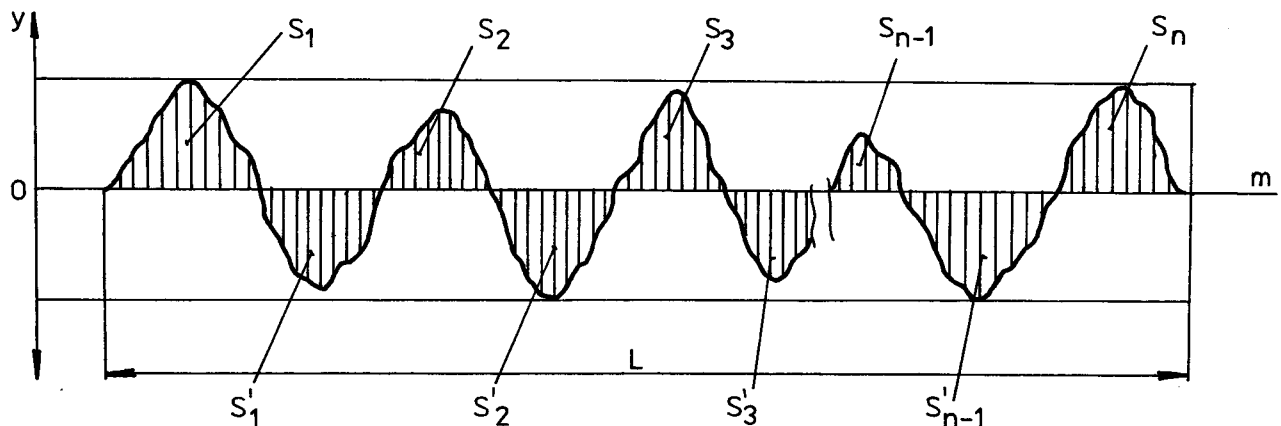
- 1/ systém strednej čiary - M
- 2/ systém obalovej čiary - E
- 3/ metóda matematických rozdielov.

1.1.1. Systém strednej čiary M

U tohto systému sa vychádza zo vztažnej čiary, ktorá musí splňať tieto požiadavky:

- a/ v dĺžke medzného rozostupu má tvar geometrického profilu, t.j. priamky, kružnice, evolventy a pod. podľa tvaru plochy,
- b/ rozdeľuje zistený profil tak, že súčty plôch obmedzených strednou čiarou a profilom boli nad i pod čiarou rovnaké /obr. 3/.

Musí platit: $\sum_1^n S_i = \sum_1^n S'_i$



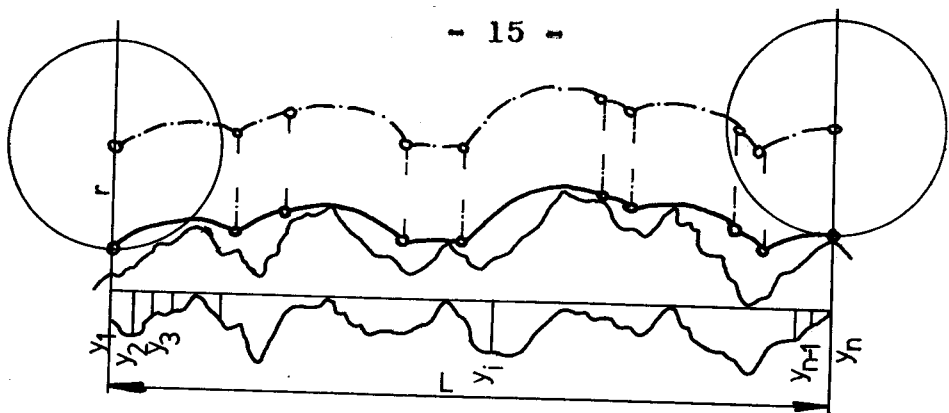
Obr. 3 / Stredná čiara profilu m

1.1.2. Systém obalovej čiary E

Tu je základňou merania obalová čiara, ktorá sa dotýka profilu a je posunutá kolmo k ideálnemu profilu o hodnote r od geometrického miesta stredu kružnic o polomere r , odvalujúcim sa po zobrazenom povrchu /obr. 4/. Základňa sa stanoví optickými metódami alebo na automatických prístrojoch s dotykom s polomerom $r = 25$ mm. Vlastný profil rezu povrhom získame dotykom o polomeru zakrivenia $v_{\mu m}$. Grafický záznam efektívneho profilu systému E má v kolmých súradničiach zobrazenú základňu ako priamku /os x/ a všetky odchylky nerovnosti v osi y sú potom záporné, čo je treba považovať za dohodnuté vyjadrenie. Podľa tejto metódy sa vyjadruje stredná výška nerovnosti vzorcom

$$R_p = \frac{1}{L} \cdot \int y \cdot dx$$

čo sú stredné výšky prieplánov /index p prieplána/



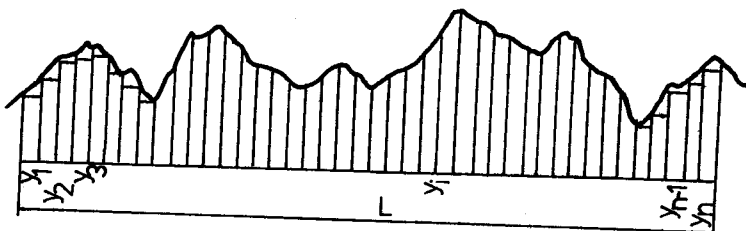
Obr. 4/ Systém obalovej čiary E

1.1.3. Metóda matematických rozdielov

Stredné hodnoty drsnosti povrchu sú u tejto metódy určované z matematických rozdielov dĺžok dvoch susedných y súradníc, meraných od ľubovoľne položenej rovnobežky s ideálnym profilom /obr. 5/.

$$\delta y_1 = y_2 - y_1$$

$$\delta y_2 = y_3 - y_2$$

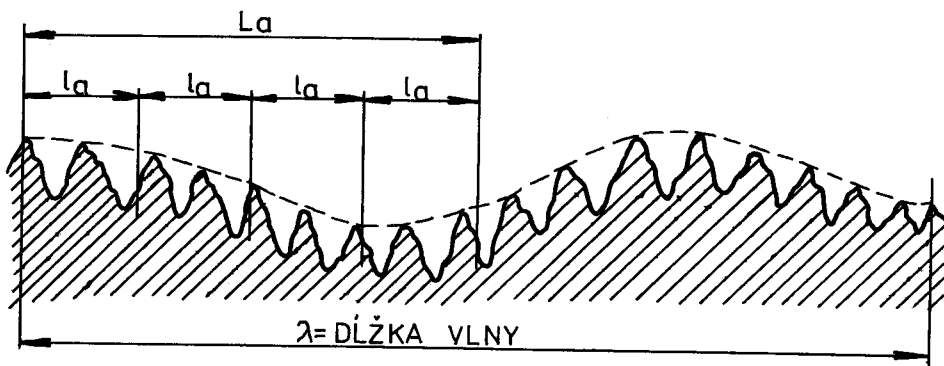


Obr. 5/ Metóda matematických rozdielov

Veľkosť rozdielov je zároveň presnejším kritériom medzi vlnitosťou a drsnosťou povrchu: pre vlnitosť platí $\delta y \approx 0$, pre drsnosť $\delta y > 0$, stredná aritmetická výška = $\frac{\sum \delta y_i}{2(n-1)}$.

Systém strednej čiary - systém M bol navrhnutý podľa návrhu doporučenia ISO/TC 57 z roku 1957 a je obsiahnutý i v našej norme ČSN 014450. V tejto norme sú definované ďalšie základné pojmy potrebné pre určenie drsnosti povrchu.

Medzná rozteč nerovnosti "la" je to najväčšia rozteč nerovnosti, väčšinou sa volí tak, aby pri určovaní drsnosti povrchu neboli stanovené hodnoty drsnosti ovplyvnené nerovnosťou povrchu s väčšou roztečou /obr. 6/. Na obrázku je výškové zväčšenie profilu mnohonásobne väčšie než pozdĺžne. Na jemne sústruženej ploche s povrhom s dĺžkou vlny nameria prístroj, ktorý je nastavený na medznú rozteč nerovnosti "la" hodnotu drsnosti s vylúčením vlnitosti. Preto musí byť pre správnu charakteristiku povrchu dĺžka meraného úseku "La" dlhá niekoľko medznych roztečí "la".



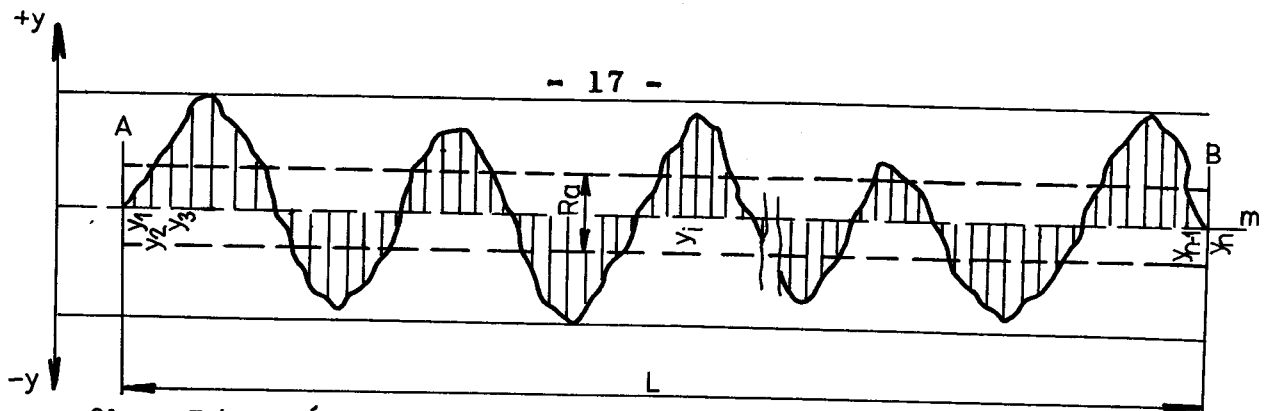
Obr. 6/ Metóda medznej rozteče nerovnosti

Stredná aritmetická úchylka od strednej čiary profilu Ra, je to stredná hodnota vzdialenosť bodov zisteného profilu / y_1, y_2, \dots, y_n / od jeho strednej čiary /obr. 7/. Matematické určenie strednej aritmetickej úchylky Ra je daná vzťahom:

$$Ra = \frac{1}{L} \int_A^B y dx$$

$$Ra = \frac{\sum_{i=1}^n y_i}{n}$$

Úchylky od strednej čiary sa sčítajú bez ohľadu na znamienko.



Obr. 7/ Metóda zisťovania strednej aritmetickej úchylky R_a

P - zobrazený profil

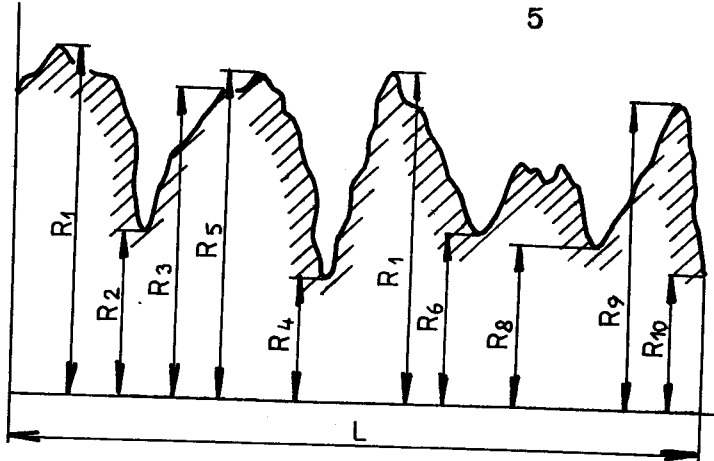
L - dĺžka meraného úseku

m - stredná čiara

Výška nerovnosti R_z - je to stredná hodnota vzdialenosťi medzi piatimi najvyššími bodmi výstupkov a piatimi najnižšími bodmi priehlbín zisteného profilu v dĺžke meraného úseku. R_z sa meria od čiary rovnobežnej so strednou čiarou profilu /obr. 8/.

Výška nerovnosti sa potom určuje:

$$R_z = \frac{R_1 + R_3 + \dots + R_9}{5} - \frac{R_2 + R_4 + \dots + R_{10}}{5}$$



Obr. 8/ Určovanie výšky nerovnosti R_z

Pre R_a a R_z je daný približný vzťah:

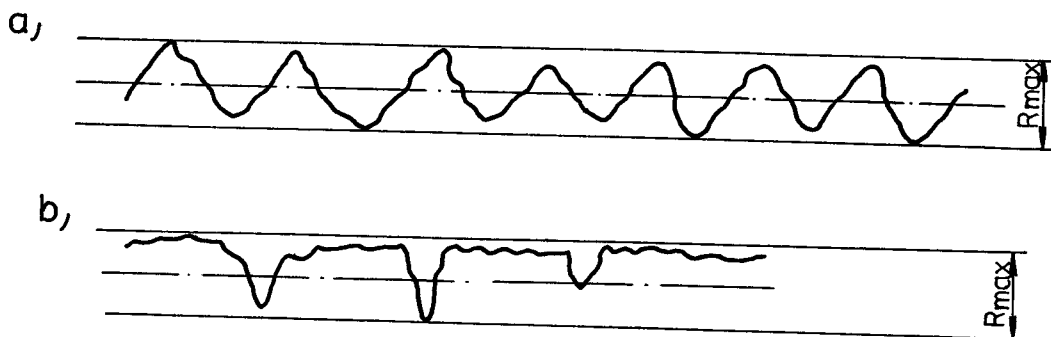
$$R_z = 4,5 \cdot R_a^{0,97}$$

Najčastejšie používaný vzťah býva: $R_z : R_a = 4$

Maximálna výška nerovnosti R_{max}.

Je to vzdialenosť medzi dvoma čiarami, ktoré sú rovnoobežné so strednou čiarou. Jedna z týchto čiar prechádza vrcholom najväčšieho výstupku a druhá najnižším bodom priehluby zistovaného profilu v dĺžke meraného úseku.

Typickým príkladom, kde je jasne vidieť R_{max}. je sústružený alebo hobľovaný povrch /obr. 9/.



Obr. 9 / Maximálna výška nerovnosti R_{max}.

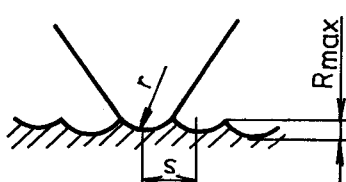
a/ trieskové obrábanie

b/ po brúsení

Pri sústružení alebo hobľovaní je to pravdepodobne opakovaný profil špičky noža. Jednotlivé stopy sú od seba vzdialené o veľkosť posuvu "s". Hĺbka stôp je úmerná veľkosti posuvu a nepriamo úmerná polomeru zaoblenia špičky noža "r" /obr.9/a/ a je určená rovnicou

$$R_{\max} \approx \frac{s^2}{8r}$$

Hodnota R_{max} sa nedá previesť na hodnotu Ra alebo Rz.



Obr. 9a/.

2.0.0. Pristroje a metódy na kontrolu drsnosti obrábaných povrchov /5/

Drsnosť sa dá určovať priamym alebo nepriamym meraním profilu zvláštnymi prístrojmi. Spôsoby používané k určeniu drsnosti môžeme si rozdeliť do skupín:

- a/ kvalitatívne a subjektívne; je to porovnávanie drsnosti so vzorovými súčiastkami, alebo vzorkovnicami na základe subjektívneho vnímania bez akéhokoľvek číselného výhodnotenia,
- b/ kvantitatívne; to je číselné výhodnenie drsnosti povrchu v určitých parametroch podľa noriem alebo podľa použitých meracích prístrojov /Ra, Rz, Rmax./.

2.0.1. Kvalitatívne a subjektívne porovnávanie drsnosti povrchu /4, 5/

Najčastejšie sa porovnáva skúmaný povrch so vzorkovnicami drsnosti povrchu.

Vzorkovnice drsnosti povrchu sú kolekcie vzorkov s povrchmi zhotovenými jednotlivými výrobnými spôsobmi, u ktorých hodnoty drsnosti Ra zodpovedajú hodnotám praktickej rady stupňov drsnosti.

Vlastná kontrola sa vykonáva často ľudskými zmyslami - zrakom alebo hmatom. Cvičený hmat kontrolora môže rozlísiť až $0,1 \mu m$ rozdielu hodnôt Ra. U hodnôt Ra menších ako $0,1 \mu m$ nie je už hmatové porovnanie spoľahlivé. Pre presnejšie porovnanie vzorkov so súčiastkou sa používajú optické zariadenia - lupy a mikroskopy.

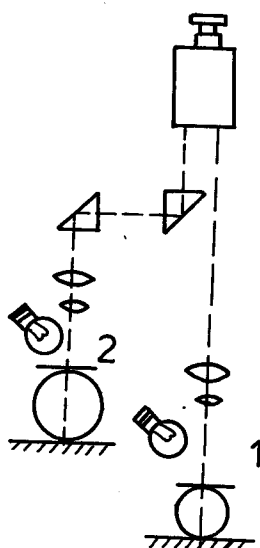
2.1.0.

Najčastejšie sa používajú porovnávacie mikroskopy.

Skladajú sa z dvojitej samostatnej optiky. V zornom

poli vidíme obidve plochy súčasne - plochu porovnávanú a plochu o známej hodnote drsnosti /etalon/.

V prístroji sú dva objektívy 1 a 2 /obr. 10/, ktoré sú zaostrené na povrch vzorku a meranej súčasti. Zväčšenie môže byť 10 až 200 krát.



Obr. 10/ Schématické znázornenie porovnávacieho mikroskopu

2.2.0. Kvantitatívne - číselné vyhodnotenie drsnosti povrchu /4, 5/

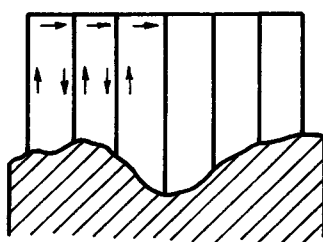
V dnešnej dobe tvoria prístroje tejto skupiny široký obor. Môžeme si ich rozdeliť na skupiny podľa použitých principov.

2.3.0. Prístroje s prevodom mechanickým /4, 5/

Jedným z najstarších prístrojov bol prístroj vyrábaný podľa profesora Woxena.

U tohto prístroja sa používa zvislej pohyblivej ihly, ktorá sa pod malým tlakom dotýka meranej plochy. Výšková poloha sa meria mikrokátorom s delením $0,1 \mu\text{m}$. Ihla sa nadvhne v kolmom smere a posunie sa o 5 až $10 \mu\text{m}$ na jednu stranu.

nu, potom sa spustí na povrch meranej súčasti /obr. 11/ a toto sa niekoľkokrát opakuje. Namerané hodnoty sa zaznamenávajú do súradnicovej sústavy a spojením nameraných bodov sa získa profilová križka.



Obr. 11/.

2.4.0. Prístroje s prevodom mechanicko-optickým /4, 5/

U tohto systému sa premeriavanie povrchu vykonáva ako u čisto mechanického zariadenia meracím dotykom, prevod ale býva pákový a optický. Oproti predošlému prístroju popísanému v kapitole 2.3.0. kde sa veľkosť zdvihu dotyku mení podľa povrchu, má tento prístroj zdvih dotyku stále rovnaký a jeho veľkosť býva asi $1,5 \mu\text{m}$. Snímací hrot je upevnený v čape, ktorý kmitá pomocou elektrického zariadenia v cievke magnetu, alebo sa kmitanie spôsobuje mechanickým palcom. Počet zdviarov býva 500 až 1000 Hz. Na konci čapu je malé otočné zrkadielko, pomocou ktorého dopadajúci svetelný lúč sa odráža naspäť na matnicu alebo film.

2.5.0. Prístroje elektromechanické /4, 5/

Tieto prístroje sa dnes radia medzi najdokonalejšie prístroje na meranie drsnosti povrchu. Ich prednosťou je: presnosť, vysoká citlivosť, univerzálnosť pri použití, po-

merne jednoduchá obsluha, možnosť merať priamo stredné hodnoty drsnosti. Dokážu nakresliť profilovú križku v určitom merítku a meranie je pomerne rýchle.

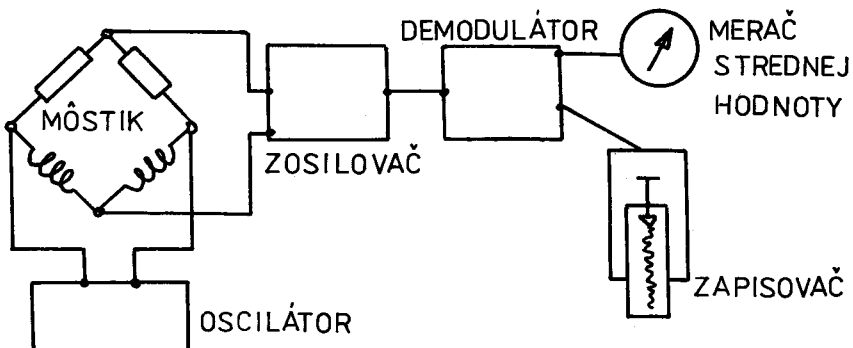
Všetky elektromechanické prístroje sú založené na rovnakom princípe: kmitanie snímacieho hrotu posúvajúceho sa po obrobenej povrchu sa prevádzza na zmenu elektrickej energie, ktorú zisťujeme. Zmena mechanickej veličiny na elektrickej umožňuje jednoduché opracovanie podľa potreby využitia iných elektrických zariadení.

Podľa usporiadania a vybavenia prístrojov rozdeľujeme elektromechanické prístroje na profilometre a profilografy.

Profilometre sa najčastejšie používajú pri meraní v dielňach, merajú priamo strednú hodnotu drsnosti Ra.

Profilografy sa používajú najčastejšie pri laboratórnom meraní, kedy potrebujeme grafický záznam priebehu profilového rezu. Základná schéma usporiadania elektrického prístroja pre meranie drsnosti povrchu je na obr. 12.

Úlohou snímača je meniť mechanické veličiny na elektrické. Elektrické impulzy sa v zosilovači zosilnia na hodnoty potrebné k ovládaniu zapisovača alebo indikátora.



Obr. 12/ Bloková schéma elektrického prístroja na meranie drsnosti povrchu

Medzi hlavné súčasti prístrojov patrí snímač. Snímač sa posú-

va po povrchu. Podľa toho aké je elektrické prevedenie snímača sa prístroje delia na:

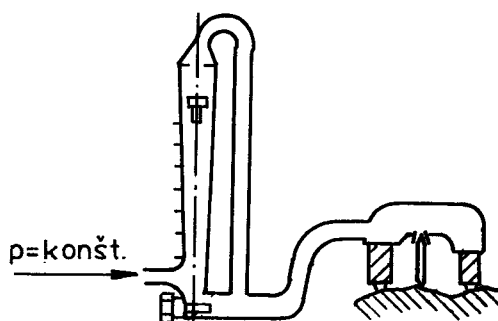
- a/ elektromagnetické
- b/ elektrodynamické
- c/ piezoelektrické
- d/ elektroindukčné

Snímače typu a/ b/ c/ sú generátorové, pohyb hrotu riaďi určitý elektrický systém, čo vyvoláva vznik elektrického napäťa na výstupných vodičoch. U typu d/ je podľa postavenia hrotu ovplyvňovaný elektrický obvod okamžitou veľkosťou indukčnosti.

2.6.0. Prístroje mechanicko-pneumatické /4, 5/

Na tomto princípe sa zistuje drsnosť snímacou hlavicou s dotykom. Schéma prístroja je na obr. 13.

Snímacia hlavica je vedená po povrchu určitou rýchlosťou. V hlavici je pomocou plochých pružín uchytený merací dotyk. Vrchná časť dotyku je kužeľovitá a takto vytvára ventil. Pohybom dotyku po povrchu sa ventil podľa nerovnosti otvára alebo uzatvára a tým sa mení prietocné množstvo vzduchu v tryske, ktorého hodnotu odčítame na rotametre.



Obr. 13/ Prístroj mechanicko-pneumatický

2.7.0. Prístroje optické /4, 5/

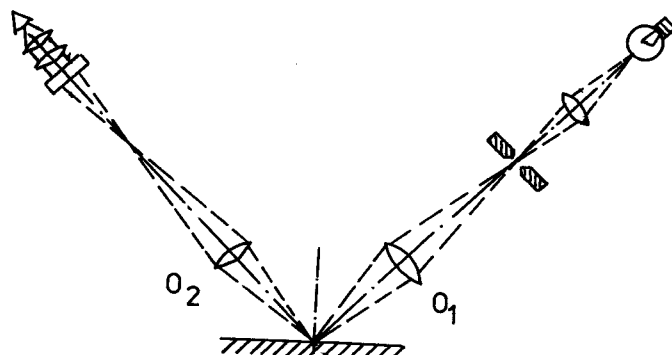
U prístrojov tohto druhu sa premeriavanie povrchu nevykonáva dotykovým hrotom, ale tu sa sledujú nerovnosti povrchu svetelným lúčom. Je to čisto optický spôsob, je využívaný u prístrojov, u ktorých sa využíva metóda svetelného rezu, alebo metóda interferencie svetla. Meria sa Rz a Rmax.

2.7.1.

Medzi najstaršie a najpoužívanejšie prístroje pracujúce na optickom princípe patria prístroje, ktoré pracujú na základe metódy svetelného rezu /4, 5/.

Týmito prístrojmi sa meria Rmax v rozsahu od 0,30 do $0,75 \mu$ m. Hranica merania menších nerovností je daná rozlišovacou schopnosťou používanej optiky.

Prístroj sa skladá zo stojana so stolom. Na ramene stojana sa pohybuje rameno s nastaviteľným mikroskopom. Schéma mikroskopu je na obr. 14.



Obr. 14/ Schéma mikroskopu pracujúceho na základe metódy svetelného rezu

Svetelný lúč vychádzajúci z osvetlovacej lampky L a po

zmenšení šošovkou prechádza štrbinou S, odtiaľ cez objektív O_1 . Tým sa osvetluje povrch a tento sa pozoruje meracím mikroskopom, ktorý sa skladá z objektívu O_2 a okuláru s mikrometrickou skrutkou. Objektívy O_1 a O_2 majú rovnaké vlastnosti. Osvetlovacie zariadenie a merací mikroskop musia byť na seba kolmé.

Na prístrojoch sa meria R_{max} tak, že sa nastaví posuvateľná ryska na vrchnú časť profilovej krivky vzniknutej svetelným rezom. Odčíta sa hodnota nastavenia na bubienku mikrometrického okulára. Potom sa ryska posunie na spodnú časť profilovej krivky a znova sa odčíta hodnota z bubienku. Rozdiel odčítaných hodnôt vynásobený konštantou podľa použitého objektívu nám udáva R_{max} povrchu v μm .

2.7.2. Metóda interferenčná /4, 5/

Táto metóda sa používa na zisťovanie povrchov veľmi jemno opracovaných. Musí sa však použiť príslušné zväčšenie, aby sa drsnosť objavila. Najčastejšie sa používa zväčšenie 80 až 500 krát. Podmienkou je, že interferenčné svetlo bude blízko pozorovanej plochy a vzniknuté interferenčné prúžky budú ostro zobrazené.

Prístroje, ktorými získame interferenčné prúžky a ktoré nám slúžia k pozorovaniu a meraniu veľmi malých drsností nazývame interferenčné mikroskopy.

Tieto mikroskopy sa rozdeľujú do dvoch hlavných skupín:
a/ interferenčné mikroskopy vyrábajúce interferenciu reálnym/skutočným/klinom;

Tieto majú veľmi jednoduchú konštrukciu. Sklenená doštička sa položí na skúšaný povrch a vytvorí tak medzi spodnou hranou doštičky a povrhom meranej súčasti reálny vzdušný klin. Nechajú sa dopadať koherentné lúče a vznik-

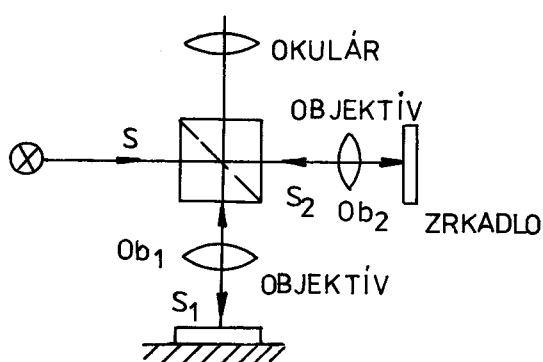
ne interferencia rovnakej šírky na vrchnej strane klinu. Tento spôsob nemá ale veľké využitie.

b/ interferenčné mikroskopy, kde získavame interferenciu zdanlivým klinom;

U týchto prístrojov sa zdanlivý klin získava buď deliacou doštičkou, alebo deliacim hranolom. Deliaci hranol sa dáva pred alebo za objektív. Podľa usporiadania hranola a objektívov rozoznávame dva typy interferenčných mikroskopov, ktoré využívajú interferenciu zdanlivým klinom.

Najväčšie použitie dosiahol interferenčný mikroskop zostrojený podľa návrhu akad. Linnika /obr. 15/.

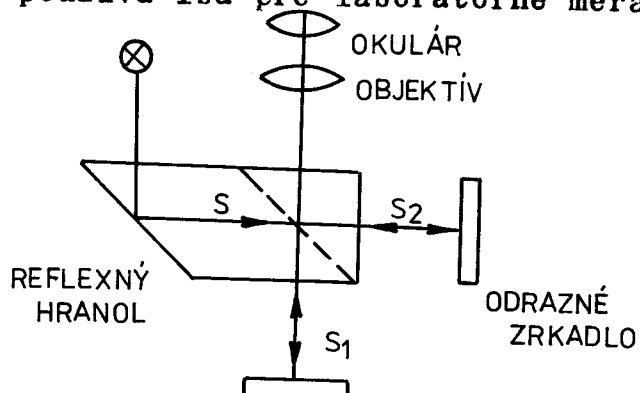
Podľa tohto spôsobu ide lúč svetla na polopriechodné zrkadlo vytvorené v sklenenom hranole, kde sa rozdeľuje na dva lúče. Jeden lúč S_1 ide na povrch meranej súčasti, od ktorej sa odráža naspäť. Druhý lúč S_2 sa odrazí od zrkadla. Oba lúče sa spojujú v deliacej ploche a idú do okuláru mikroskopu. Medzi skleneným hranolom a meraným povrchom je objektív 0_{b1} , medzi skleneným hranolom a zrkadlom je objektív 0_{b2} . Toto usporiadanie dovoľuje veľmi veľké zväčšenie, ale kladie veľké požiadavky na úplne zhodné parametre oboch objektívov.



Obr. 15/ Interferenčný mikroskop akad. Linnika

Druhý typ je interferenčný mikroskop podľa Kruga a Laua. Schéma tohto mikroskopu je na obr. 16. Medzi objektívom a meraným povrhom sa nachádza systém delenia svetelného lúča.

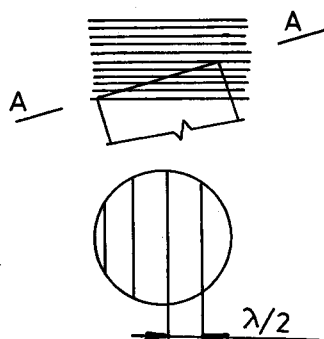
Tento sa skladá z reflexného hranolu, ktorý je delený a tvorí polopriechodné zrkadlo. Zo zdroja vychádzajúce svetlo je rozdelené v deliacej ploche na dva svetelné lúče S_1 a S_2 , z ktorých jeden ide na meraný povrch a druhý na odrazové zrkadlo. Obidva svetelné lúče idú po spojení v ploche delenia objektívom mikroskopu do okuláru. Tento druh mikroskopu sa používa iba pre laboratórne merania.



Obr. 16/ Interferenčný mikroskop podľa Kruga a Laua

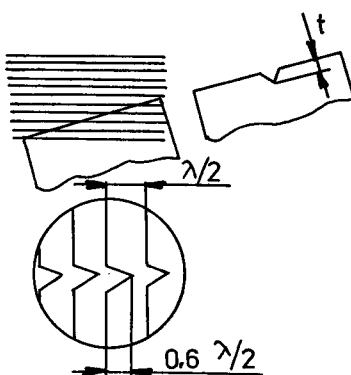
Vyhodnotenie interferogramu /4, 5/

Ideálne rovné plochy ukazujú rovnomerne rovnobežné prúžky /obr. 17/.



Obr. 17/ Zobrazenie ideálnej rovinnej plochy

Ak je na povrchu ryha, tak sa prejaví na interferenčnom obraze vychýlením prúžku v tomto mieste. Interferenčný obraz ryhy na ideálnej ploche je schématicky naznačený na obr. 18.



Obr. 18

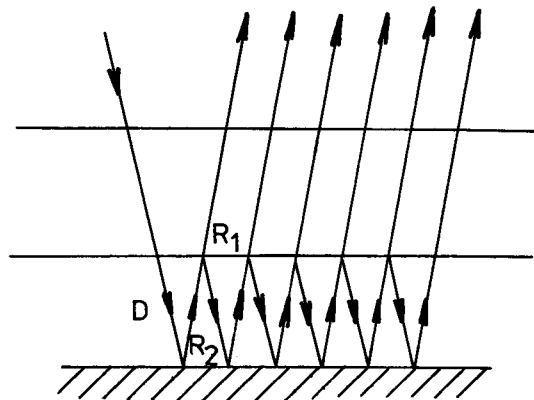
Vzdialenosť interferenčných prúžkov zodpovedá zmene klinovej vrstvy $\lambda/2$ pri kolmom dopade svetla a veľmi malom uhle klinu δ . Ak poznáme vychýlenie prúžkov p ako zlomok vzdialenosťi prúžkov l a ak ho vynásobíme polovičnou vlnovou dĺžkou použitého svetla dostaneme hĺbku ryhy R_{max} .

Aby sme dostali čo najostrejšie prúžky používame viaclúčovú interferenciu.

Viaclúčová interferencia je umožnená niekoľkonásobným odrazom lúčov na veľmi tenkých klinoch, alebo rovnobežných rovinných doštičkách. Viaclúčová interferencia je možná iba na reálnych klinoch. Pri viaclúčovej interferencii sa od vrchnej strany klinu odráža len niekoľko málo percent dopadajúceho svetla. Vrchná strana klinu musí byť polopriechodne posriebrená sklenená plocha.

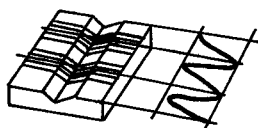
Na obr. 19. je vidieť, že v protiklade k dvojlúčovej interferencii kde interferujú dva lúče, interferuje tu viac lúčov. Na obrázku R_1 je reflexná schopnosť polopriepustnej vrstvy, D je priepustnosť tejto vrstvy, R_2 je ferlexná schop-

nosť nepriepustnej vrstvy.

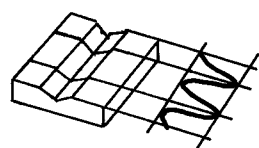


Obr. 19/ Znázornenie viaclúčovej interferencie

Rozdelenie intenzity u dvojlúčovej interferencie je naznačené na obr. 20, kde je vidieť, že oproti obr. 21 kde je rozdelenie intenzity viaclúčovej interferencie, je viditeľný dosť veľký rozdiel.



Obr. 20/ Rozdelenie intenzity u dvojlúčovej interferencie



Obr. 21/ Rozdelenie intenzity u viaclúčovej interferencie

2.7.3. Elektronový mikroskop

Ak chceme merať ešte jemnejšie nerovnosti, ktoré nie je možné zmerať interferenčným mikroskopom dajú sa zmerať elektrónkovým mikroskopom. Tento mikroskop má väčšinou zväčšenie 8 000 až 150 000 násobné.

Väčšinou sa prevádzka pri meraní povrchu plastický otisk povrchu, napr. saponovým lakov. Pre zvýšenie kontrastu sa blana s otiskom pod určitým uhlom kovovo katodicky popráši.

3.0.0. Laserová technika

Pri navrhovaní a konštrukcii metódy sme využili niektoré doteraz už známe a vyskúšané metódy.

Využili sme špeciálnych vlastností laseru, vysoký stupeň koherencie a polarizácie, monochromatičnosti, vysokú smerovateľnosť a veľkú intenzitu.

Laserová modulačná metóda využíva monotónneho rozloženia intenzity od kraja do stredu prierezu lúča, kvalizináru závislosť žiarenia na priereze zväzku lúča Gaussového typu.

V strede najviac lineárnej časti sa volí pracovný bod metódy. Posúvaním pracovného bodu v lineárnej časti intenzity v priereze zväzku, clonením alebo odrazom zväzku sa dosiahne kmitajúcim systémom modulácie laserového zväzku okamžitými výchylkami kmitajúceho telesa /6/.

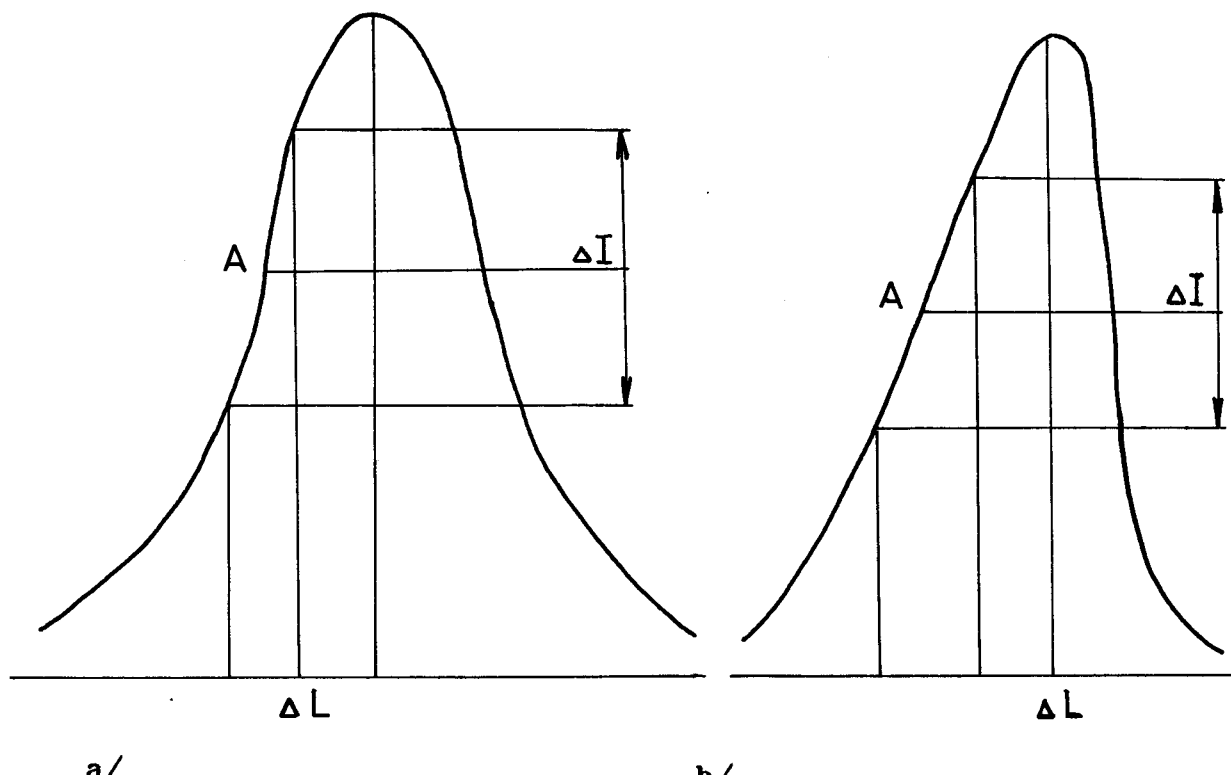
Pretože modulácia laserového lúča sa dá dosiahnuť clonením, ale aj odrazom, môžeme rozdeliť modulačnú laserovú metódu na:

- a/ metódu tangenciálnu
- b/ metódu reflexnú.

3.1.0. Podstata teórie optických modulačných metód

U modulačných metód merania kmitajúcich predmetov sa využíva rovnobežnosti lúča v zväzku laserového žiarenia a jeho smerovej amplitúdy.

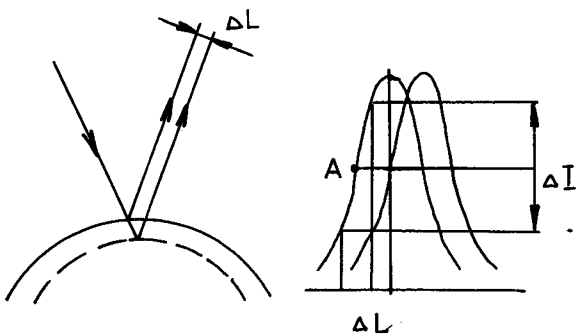
Pretože intenzita prierezu stopy laserového žiarenia je nemonotónou funkciou, ktorá je pre módy TEM_{00} symetrická gaussovského typu /obr. 22a/ a pre vyššie módy nesymetrická /obr. 22b/, môžeme preto využiť týchto monotónnych častí kriviek pre meranie vybrácií.



Obr. 22/ Zmena v polohe na profile laserového zväzku Δl viedie ku zmene intenzity ΔI v symetrickom, alebo nesymetrickom móde.

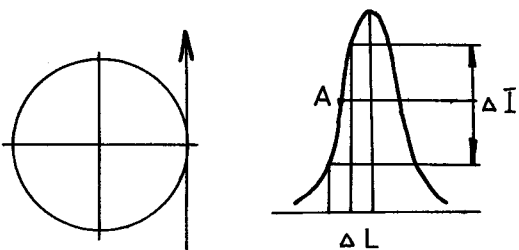
Ak zoberieme z monotónnych častí krviek /obr. 22 a/ a /obr. 22 b/ také časti, ktoré sú približne lineárne, môžeme zmeny v polohe Δl na krvkách obr. 22 a,b, previesť na zmeny intenzity ΔI . K meraniu vybrácií rotujúceho tele-sa je možné použiť reflexného a tangenciálneho usporiadania /obr. 23 a 24/.

U reflexnej metódy menia krvky intenzity polohu s polohou odrazeného povrchu a za štrbinou umiestnenou v odrazenom svetle dochádza k jeho modulácii /obr. 23/.



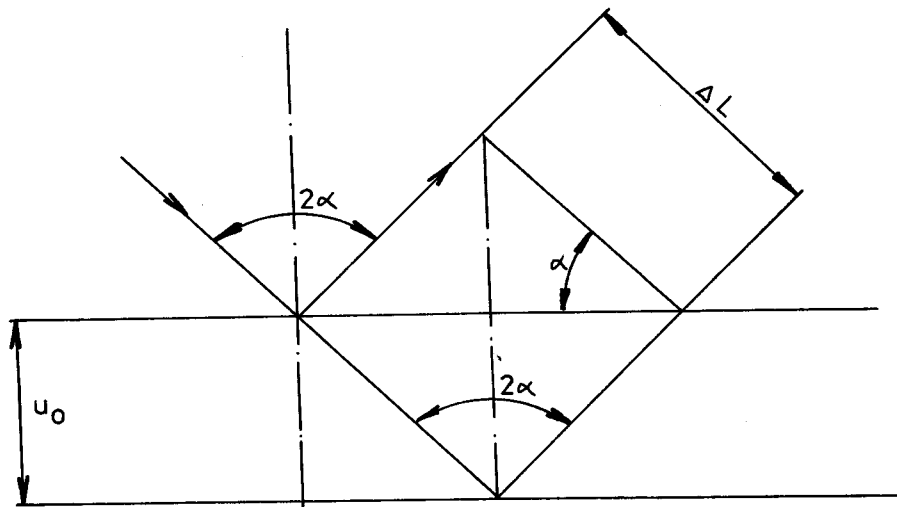
Obr. 23/ Reflexné usporiadanie modulačnej laserovej techniky

Na rozdiel od reflexnej techniky sa u tangenciálnej metódy prevádzka modulácia intenzity laserového žiarenia členením vybrujúceho otáčavého sa systému /obr. 24/.



Obr. 24/ Tangenciálne usporiadanie laserovej modulačnej techniky

Vzťah medzi okamžitou výchylkou vybrácia $\mu(t)$ a zmenou v polohe odrazených lúčov ΔL , vyplýva vzťah medzi amplitúdou μ_0 a zmenou vzdialenosťi ΔL , ktorý má tvar ako je uvedené na obr. 25.



Obr. 25/ Odvodenie vzťahu amplitúdy kmitu a zmeny polohy na laserovom zväzku

$$\Delta L = 2u_0 \sin \alpha$$

$$u_0 = \Delta L / 2 \sin \alpha \quad /1/$$

Ak je priebeh vybrácií harmonický, potom okamžitá výchylka $u(t)$ je v tvarе

$$u(t) = u_0 \sin \omega t \quad /2/$$

po dosadení do rovníc 1 a 2 dostaneme tvar

$$u(t) = \frac{\Delta L}{2 \sin \alpha} \cdot \sin \omega t$$

Hodnoty $u(t)$, ΔL sa rovnajú $\Delta L(t)$ kmitajú harmonicky, k tomu je potrebné snímať intenzitu svetla fotodetektorom. Ten sa prevádzza elektronikou na zmenu elektrického napäcia alebo prúdu. Snímané napätie $U = U/I$ je funkciou intenzity svetla I a je pre používané fotodetektory, akými sú napr. kremíkové fotodiódy alebo fotonásobiče, lineárne.

4.0.0. Vlastné riešenie

Pri vlastnom riešení návrhu a konštrukcie využitia modulačnej laserovej techniky k meraniu kvality obrábaných valcových povrchov sme použili tangenciálnu metódu.

Hlavným cieľom bolo dokázať možnosť využitia laserovej modulačnej techniky, a hlavne tangenciálnej metódy modulácie intenzity laserového žiarenia, pri meraní kvality obrábaných rotačných valcových povrchov.

4.1.0. Návrh metódy merania

Celé zariadenie je navrhované s ohľadom na meranie rotujúcich valcových súčasti.

Pri návrhu metódy sme vychádzali z poznatku o modulácii intenzity laserového žiarenia clonením vybrujúceho otáčajúceho sa systému.

Za predpokladu, že modulácia intenzity laserového žiarenia sa dá dosiahnuť clonením laserového lúča, mal by sa tento efekt dať dosiahnuť za určitých predpokladov aj u merania drsnosti povrchu.

Prvý predpoklad:

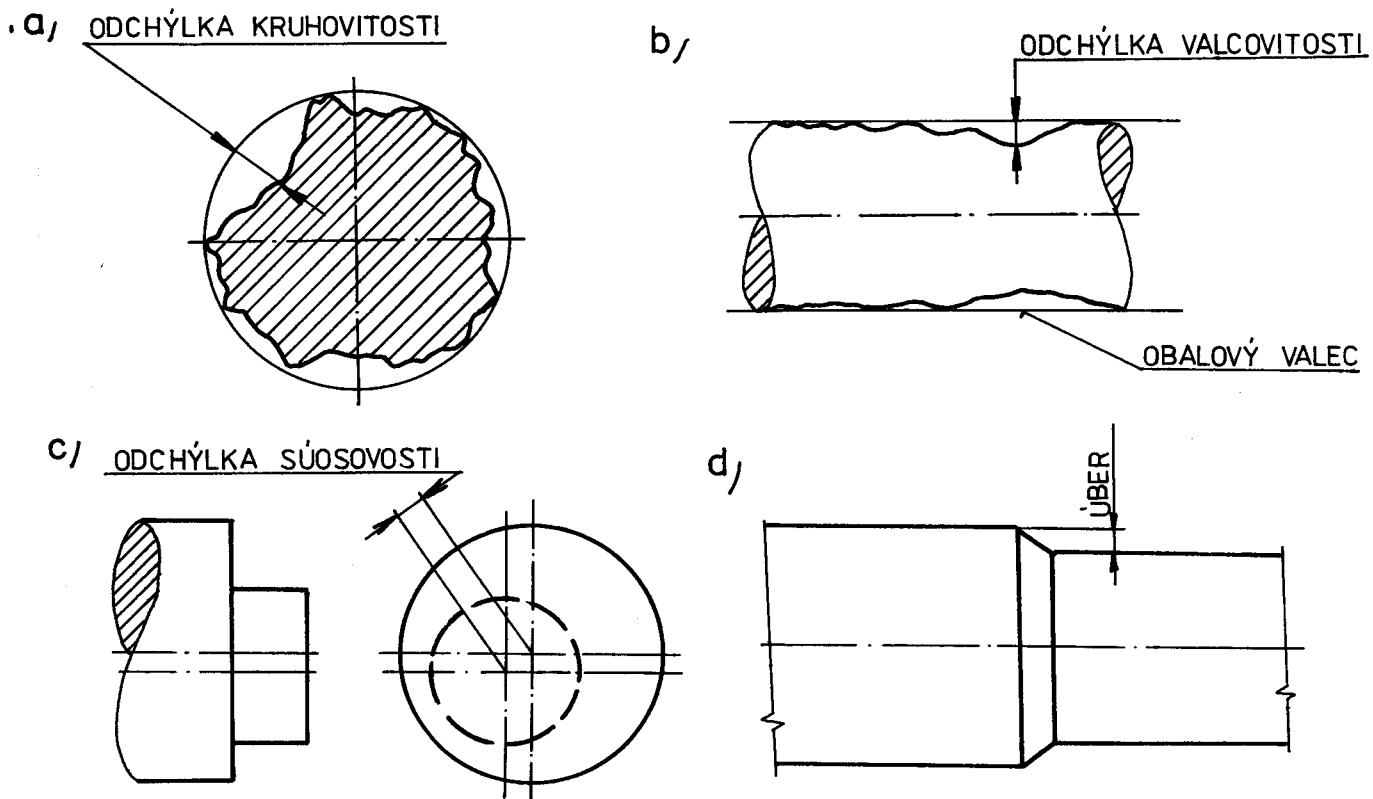
Meraným vzorkom budeme pomaly otáčať. Mikronerovnosti povrchu tohto vzorku, jeho drsnosť, nám budú cloníť laserový lúč, a tým dosiahneme moduláciu laserového lúča.

Druhý predpoklad:

Moduláciu laserového lúča dosiahneme aj v prípade kedy nám štrbinu bude prekrývať a tým modulovať laserový lúč obrobok, ktorý nebude kruhový - meranie ovality a valcovitosti /obr. 27a,b/, obrobok, ktorého os rotácie nebude totožná s osou symetrie - meranie eccentricity /obr. 27 c/, d-

lej by sa dal merať úber materiálu a tým späťne riadiť chod a funkcie automatických obrábacích strojov /obr. 27d/.

Na základe týchto predpokladov bolo zostrojené a odskúšané zariadenie na meranie kvality valcových povrchov.

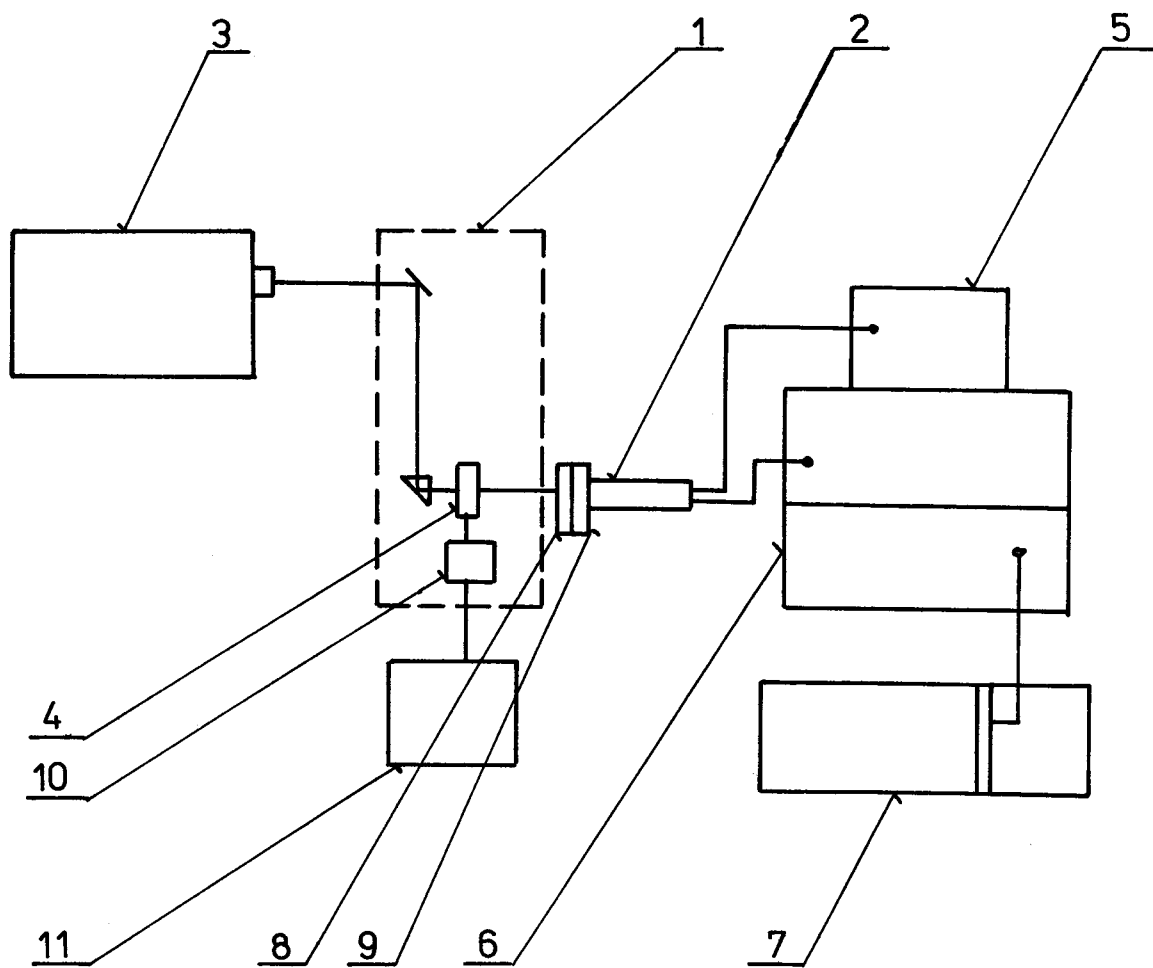


Obr. 27/ Rôzne druhy meraní, ktoré sa dajú zmerať laserovou tangenciálnou modulačnou metódou.

4.2.0. Návrh a konštrukcia zariadenia

Ako základ optickej časti zariadenia sme použili laserové meracie zariadenie k meraniu jedno, dvoj a trojosého kmitania súčasti textilných strojov, ktoré je popísané v /6/.

Ďalej bol použitý jednofrekvenčný He - Ne laser LA 1000, Lineárny zosilovač Tesla NAZ 417, VN zdroj NETZGERÄT Pho 1, fotonásobič FN ZEISSE M10 FS12, súradnicový zapisovač BAK 5T. Prístroje boli zapojené podľa obr. 28.



Obr. 28/ Schématické znázornenie zapojenia prístrojov
Laserový lúč išiel z laseru LA 1000 cez optickú sústavu la-
serového zariadenia na meranie kmitania súčiastok textilných

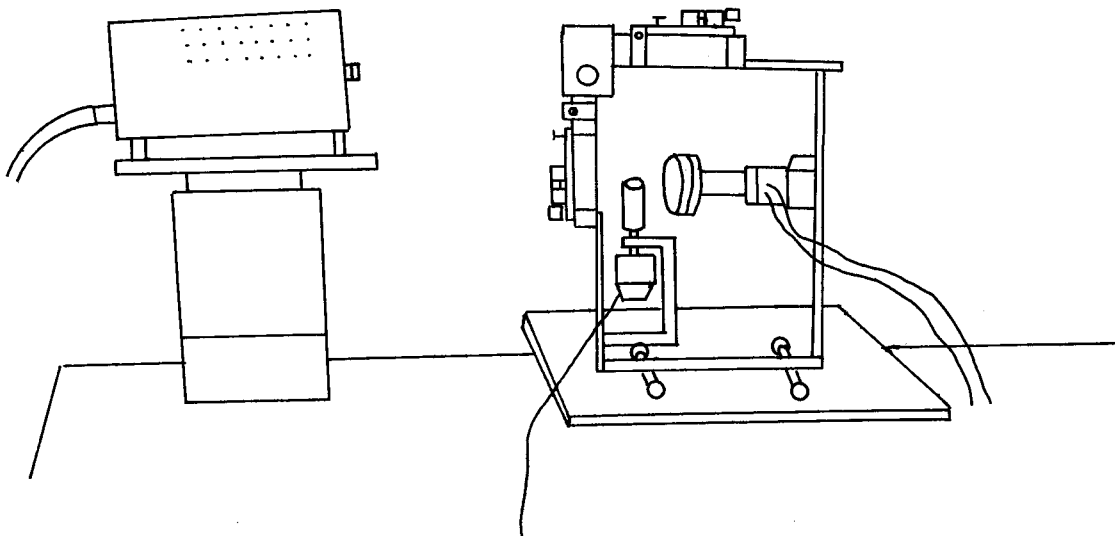
strojov /1/, vytváral dotyčnicu k meranému vzorku /4/, ktorý sa pomaly otáčal. Vzorok bol poháňaný jednosmerným elektromotorom /10/, ktorého otáčky boli regulované regulačným transformátorom /11/. Lúč ďalej prechádzal štrbinou /8/ a cez interferenčný filter 633nm /9/ prichádzal na fotonásobič /2/. Z fotonásobiča, ktorý bol napájaný z VN zdroja /5/ sa modulovaný signál viedol do lineárneho zosilovača /6/. Zo zosilovača, kde sa signál zosilil, sa viedol signál na zapisovacie zariadenie /7/.

Zariadenie na meranie kmitania súčiastok textilných strojov bolo upevnené na základovej nosnej doske vyrobenej podľa výkresu č. 1 v prílohe, skrutkami podľa výkresu č. 2.

Elektromotor bol prichytený k zariadeniu nosnou doskou podľa výkresu č. 3. Základová doska bola priskrutkovaná na vedenie podľa výkresu č. 4, ktorým bolo možné celé zariadenie pripojiť na optickú lavicu laseru LA 1000. Usporiadanie laseru a meracieho zariadenia na optickej lavici je vidieť zo schématického náčrtku obr. 29 a z fotografie č. 1.



fotografia č. 1/ Usporiadanie laseru LA 1000 a optického zariadenia na meranie kvality obrábaných valcových povrchov.

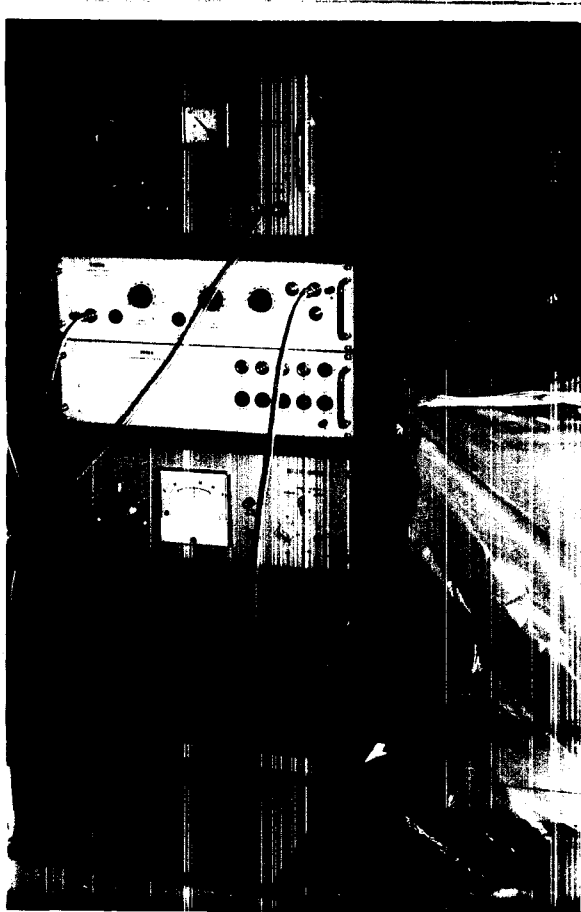


Obr. 29/ Schématické znázornenie usporiadania laseru
LA 1000 a meracieho zariadenia na optickej lavici
laseru LA 1000.

4.3.0. Použité prístroje na hodnotenie kvality obrábaných
valcových povrchov

Ako je vidieť z fotografie č. 2 pri vyhodnocovaní kvality obrábaných valcových povrchov bolo použitých niekoľko prístrojov:

- VN zdroj NETZGERÄT Pho 1, Lineárny zosilovač Tesla NAZ 417,
- He - Ne laser LA 1000 a súradnicový zapisovač BAK 5T. V tomto usporiadani sú názorne vidieť i na fotografii č. 2.



fotografia č. 2/ Usporiadanie prístrojov pri meraní kvality obrábaných valcových povrchov.

4.4.0. Jednofrekvenčný He - Ne Laser LA 1000

Jednofrekvenčný He - Ne laser LA 1000 je stabilný zdroj svetelného žiarenia s vysokou časovou a priestorovou koherenciou, žiariaci na jedinom pozdĺžnom a priečnom kmitavom móde vlnovej dĺžky $0,63299141 \mu\text{m}$. Laser LA 1000 je zostavený z dvoch samostatných dielov, z laserovej hlavice typ LA 120 a elektronickej časti typ LA 110. Obidva diely sú pri funkcii medzi sebou prepojené dvoma káblami.

4.4.1. Hlavica laseru typ LA 120

Hlavica laseru obsahuje výbojovú trubicu naplnenú ak-tívnym zosilujúcim médium /zmes plynov He - Ne/, ktorá pô-sobí ako zosilovač optického žiarenia. Výbojová trubica je umiestnená v optickom rezonátore, ktorý je vytvorený dielek-trickými zrkadlami. Optický rezonátor predstavuje spätno-väzobný člen laserového oscilátoru. Celá konštrukcia optic-kého rezonátoru je z invaru a nevyžaduje žiadne dolaďovanie. Invarové teleso rezonátoru s výbojovou trubicou a dielektric-kými zrkadlami je uložené v termostate. Jedno z dielektric-kých zrkadiel je upevnené v piezoelektrickom krúžku, ktoré-ho rozmerы sa dajú meniť priloženým napätím a tým sa udr-žuje konštantná dĺžka.

Termostatom, ktorý je tvorený výhrevným telesom, termis-torom a zadávacími odpormi, je udržiavaná konštantná teplo-ta celého zariadenia po celú pracovnú dobu.

V hlavici laseru sú tiež umiestnené topné odpory, ktoré sú pripojené len po dobu, kedy je výboj laserovej trubi-ce vypnutý a nahradzujú tak vyžarovanie trubice. Týmto je umožnené rýchle vyrovnanie teploty rezonátoru pri zapnutí výboja vo výbojovej trubici a skrátenie doby potrebnej k us-táleniu tepelných pomerov pred použitím. Schéma hlavice la-seru LA 120 je na obr. 30.

4.4.2. Elektronická časť laseru typ LA 110

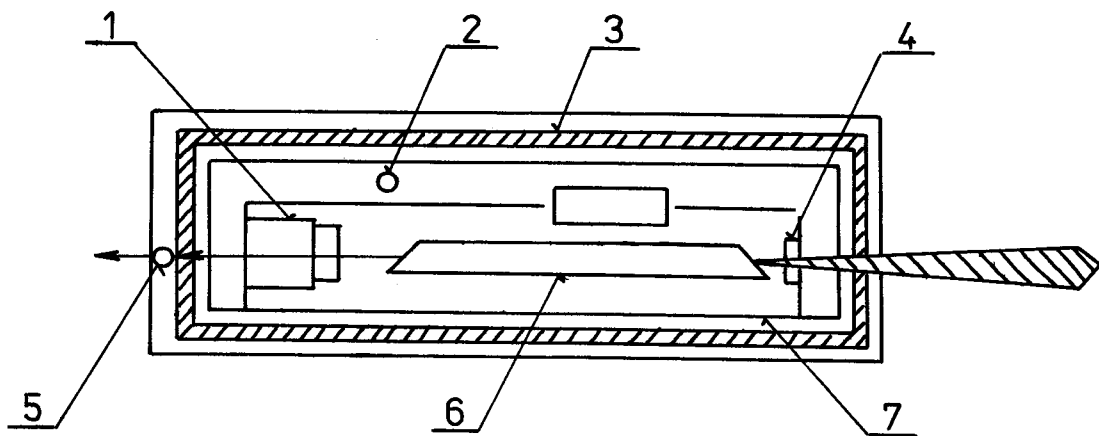
Druhou časťou laseru LA 1000 je elektronická časť, ktorá je zdrojom napäťia a signálu zaistujúceho správny chod oboch jednotiek ako celku.

Elektronická časť obsahuje vysokonapäťový prúdovo-sta-bilizovaný zdroj pre napájanie výbojovej trubice s vysokou stabilitou a malým rušivým napätím. Za pomocí tohto zdroja

sa v trubici vytvára výboj, ktorý vybudí atómy aktívneho plynu na vyššie energetické hladiny. Vznik inverzie v ob- sadení hladín je prvým predpokladom pre funkciu laserového oscilátoru. Elektromagnetické pole pôsobiace vo vnútri op- tického rezonátoru stimuluje prechody ďalších a ďalších atómov. Výsledkom je, že sa v rezonátore ustáli intenzita žiarenia, ktorého časť vychádza polopriepustným zrkadlom ako výstupný lúč laseru.

Obvody termostatizácie kontinuálne udržujú teplotu re- zonátoru na konštantnej teplote pomocou termistoru. Súčas- ne zaisťujú modelovanie tepelného poľa v hlavici laseru i pri vypnutej výbojovej trubici.

Servosystém riadi dížku rezonátoru elektrostrične pie- zokeramickým krúžkom, na ktorom je uchytené jedno zrkadlo tak, že frekvencia je nastavená na stred emisnej linie izo- topov neonu Ne^{20} . Kontrôle a signálne obvody umožňujú rých- lu kontrolu všetkých dôležitých častí zariadení. Ide o vý- kon laseru, prúd výbojovej trubice, pracovný bod prúdového stabilizátoru, ohrev odchýlky teploty rezonátoru a odchýl- ky servosystému. Popis zapojenia a ovládania laseru LA 1000 je popísaný v /8/.



Obr. 30/ Schéma hlavice laseru LA 120

- Legenda:
- 1. - Piezoelement
 - 2. - Termistor
 - 3. - Termostat
 - 4. - Držiak so zrkadlom
 - 5. - Fotodetektor
 - 6. - Výbojová trubica
 - 7. - Teleso rezonátoru

4.5.0. Lineárny zosilovač Tesla NAZ 417

Ide o elektrónkový lineárny zosilovač so stabilizovaným zdrojom na napätie 220 V, 170 V, 150 V, 50 V, ktoré sú potrebné na napájanie žhavenia elektrónok v zosilovači. Lineárny zosilovač sa ovláda veľmi jednoducho. Sieťovým vypínačom sa zapína stabilizovaný zdroj a tým i lineárny zosilovač. Na ovládacej doske lineárneho zosilovača sú tri otočné viacpolohové prepínače a dva jednoduché prepínače. Prvým prepínačom sa prepína vstup, podľa toho, či máme kladný alebo záporný signál. Druhý jednoduchý prepínač slúži na hrubé prepínanie zisku zosilovača buď 40 alebo 60 dB. Jeden z viacpolohových prepínačov slúži na jemné prepínanie zisku zosilovača v dB. Druhé dva prepínače slúžia k regulácii charakteristiky zosilovaného signálu. Jedným sa nastavuje deriváčná konštanta $v_{\mu} \Delta$ a druhým integračná konštanta $v_{\mu} \Delta$.

4.6.0. VN zdroj NETZGERÄT Pho 1 /Carl Zeiss Jena/

Ide o elektrónkový vysokonapäťový zdroj, na ktorom sa dá napätie regulať v rozsahu 600 až 2 000 V s výstupným prúdom maximálne 1 mA.

Napájanie fotonásobiča je zapojené do konektoru s označením **Messkopf** $R_L \approx 2,7 \text{ M}\Omega$

Ovládanie VN zdroja je jednoduché. Najprv zapneme sieťový vypínač, potom nastavíme otočným viacpolohovým prepínačom požadovanú hodnotu napätia, ktorú odčítame na V metri. Nakoniec zapneme vypínač vysokého napätia.

4.7.0. Súradnicový zapisovač BAK 5T

Súradnicový zapisovač BAK 5T je moderný plošný zapisovač, určený pre trvalý záznam priebehu napätia v dvoch navzájom kolmých súradničiach. Zápis sa prevádzka na papier lúbovoľného formátu do veľkosti 300 x 420 mm. Zapisovač je skonštruovaný stavebnicovým spôsobom. Dajú sa použiť rôzne výmenné jednotky, ktoré sa prinájajú ako vstupné obvody k servomechanizmom. Systém výmenných jednotiek umožňuje dopĺňovať vstup každej súradnice nezávisle na druhej súradnici vhodnými obvodmi podľa druhu použitia. V našom prípade sme použili namiesto zosilovača súradnice X časovú základňu TB 1. Týmto usporiadáním sme dosiahli, že zapisovač zaznamenával merané veličiny v závislosti na čase. Podrobnejší popis zapisovača a návod k obsluhe je v Technickom popise /7/.

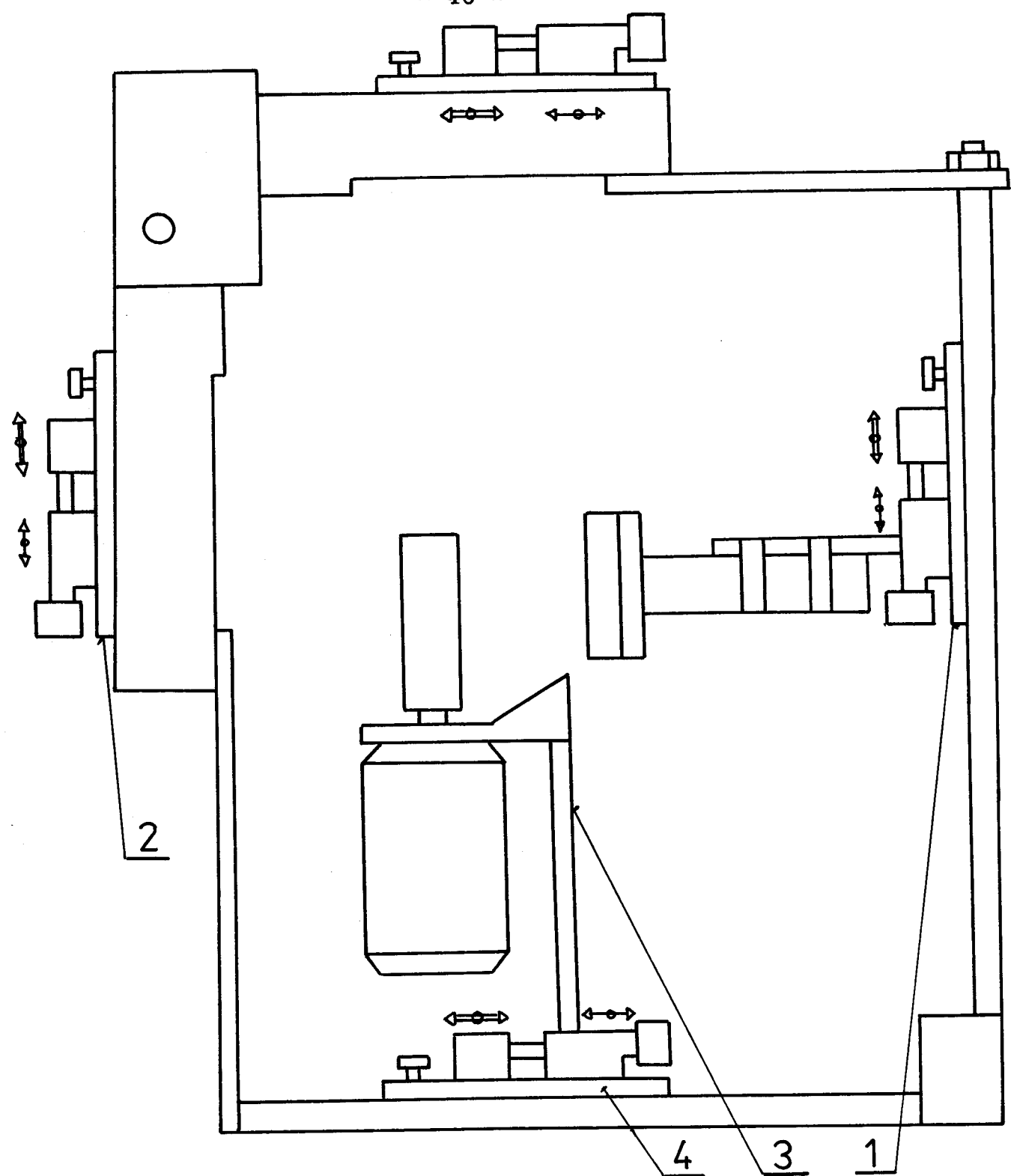
4.8.0. Laserové meracie zariadenie na meranie kmitania súčasti textilných strojov

Ako základ celej sústavy zariadení použitých pri meraní sme použili laserové meracie zariadenie na meranie kmitania súčasti textilných strojov. Toto zariadenie je podrobne popísané v /6/. Z jednodušený nákres zariadenia je na obr. 31. Laserový lúč vchádzal do hlavice zariadenia, v ktorej bolo umiestnené zrkadlo sklonené pod uhlom 45°. Laserový lúč sa zo zrkadla odrážal na povrch kolmého hranola, kde

sa odráža na jeho uhlopriečkovom povrchu o 90° . Odtiaľ je lúč vedený v horizontálnom smere na skúmaný vzork. Meranie vyžaduje dotyčnicový dotyk lúča so vzorkom. Dotyčnicový dotyk sa zaistuje posuvom motorku so vzorkom na nosnej doske č. 3. Táto doska s motorom je pripojená na špeciálnom suporte č. 4, na ktorom sa dá nastavovať vzdialenosť vzorku od fotonásobiča. Hranol, v ktorom sa lúč láme o 90° je pripojený na držiaku, ktorý je pripojený tiež na špeciálnom suporte č. 2, ktorý má hrubý a jemný posuv. Fotonásobič je pripojený na obdobnom suporte č. 1. Týmto zariadením môžeme premeriavať kvalitu povrchu vzorku v rôznych miestach vzorku.

Pred fotonásobičom je v špeciálnej prírube zabudovaný interferenčný filter 633, ktorý prepúšťa iba svetlo z He - Ne laseru, takže môžeme meranie prevádzkať za denného svetla.

Príruba je s posuvnou štrbinou a bola vyrobená podľa výkresu č. 5.



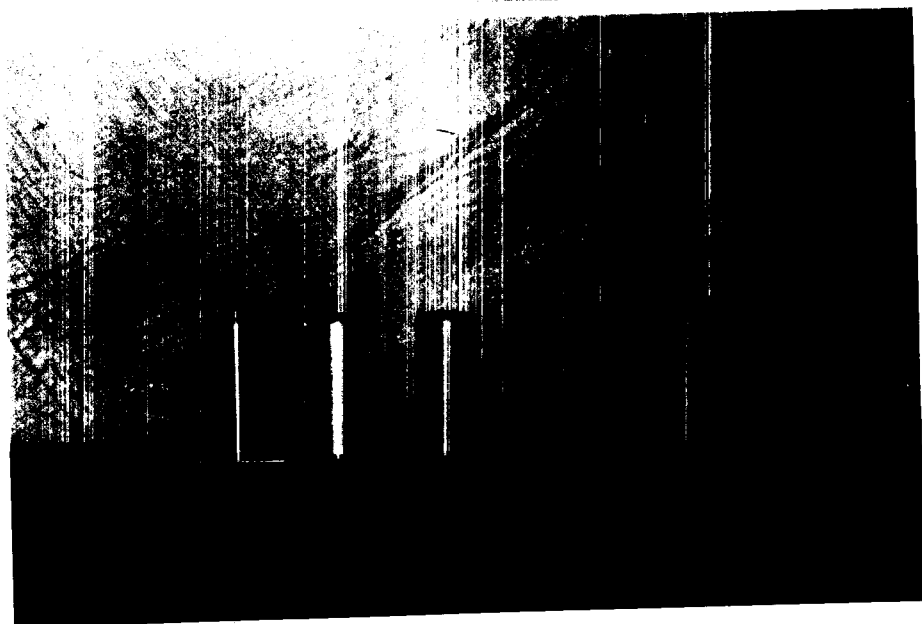
Obr. 31/ Zjednodušený nákres optického zariadenia
použitého pri meraní

4.9.0. Skúšobné vzorky

Vzorky boli vyrobené z ocele 11368 podľa výkresu č. 6. Každá vzorka bola vyrobená s povrchom rôznej drsnosti. Drsnosť bola meraná na prístroji HOMMEL TESTER a je v tab.č. 1.

Tab.č. 1

Vzorka	Drsnosť		Spôsob výroby povrchu
	Ra	Rmax	
1	0,47	2,8	Brúsenie
2	3,6	18,0	Jemné sústruženie
3	7,5	35,0	Sústruženie
4	28,0	115,0	Hrubé sústruženie
5	32,0	125,0	Hrubovanie



Fotografia č. 3/ Vzorky použité k meraniu

5.0.0. Postup merania

Meranie sa vykonávalo na Katedre Fyziky v laboratóriu Ing. RNDr. Lubomíra Sodomku CSc. Optické zariadenie a laser boli pripojené na optickej lavici laseru LA 1000. Zapojenie prístrojov a celého zariadenia je názorne vidieť v kapiole 4.2.0. na obr. č. 28 a 29 a fotografiách č. 1 a 2.

Aby meranie netrvalo dlho je dobré zapnúť laser ako prvý, pretože potrebuje dosť dlhý čas na termostatizáciu. Podrobnejší popis spustenia laseru, podľa ktorého sa musíme bezpodmienečne riadiť je popísaný v /8/. Napájanie fotonásobiča pripojíme na VN zdroj NETZGERÄT Pho 1 do konektoru, s označením Messkopf.

Na VN zdroji nastavíme napätie viacpolohovým prepínačom 1400 V. Výstup z fotonásobiča pripojíme na lineárny zosilovač NAZ 417. Pri meraní sa najlepšie osvedčilo nastavenie jednotlivých funkcií zosilovača takto: prepínač derivačnej konštanty na $50\mu\Delta$, zisk hrubo 60 dB, zisk jemno 14 dB, integračná konšstanta $5\mu\Delta$, vstup na minus. Výstup zo zosilovača sme zapojili do súradnicového zapisovača BAK 5T, na vstup zosilovača X-ovej súradnice. Namiesto zosilovača Y-ovej súradnice použili sme časovú základňu TB 1. Jednosmerný motor sme pripojili cez usmerňovač v mostíkovom zapojení na regulačný transformátor. Po spustení laseru najskôr musíme nastaviť optické zariadenie do takej polohy, aby laserový lúč dopadal do stredu zrkadla a odrážal sa na povrch kolmého hranola.

Pomocou suportu č. 4, na ktorom máme pripojený motor so vzorkom si nastavíme požadovanú vzdialenosť od štrbiny pred fotonásobičom. Pri meraní sa ako najvhodnejšia javila vzdialenosť 35 mm.

Pomocou suportu č. 2, na ktorom je pripojený hranol,

si môžeme nastaviť ľubovoľné miesto merania. Su portom č.1 nastavíme fotonásobič tak, aby laserový lúč dopadal do stredu fotonásobiča. Nastavíme si motor so vzorkom tak, aby laserový lúč vytváral dotyčnicu ku vzorke. Jednu hranu štrbinu nastavíme rovnobežne s obalovou krivkou vzorku. Pri meraní sa najvhodnejšie javila medzera štrbiny veľkosti 1 mm. Štrbina je vo vertikálnej polohe pre meranie drsnosti a v horizontálnej polohe pre meranie kruhovitosti a exentricity. Ďalej si nastavíme otáčky elektromotoru, pri meraní sme použili 86 ot/min. na regulačnom transformátore, zapojíme vysoké napätie do fotonásobiča 1400 V a zariadenie je pripravené k meraniu. Polohu a veľkosť štrbiny upravíme tak, aby sme na zapisovači dosiahli čo najväčšej výchylky.

5.0.1. Skrátený prehľad nastavenia prístrojov pri meraní

1. Laser LA 1000

Spustenie laseru podľa návodu k obsluhe /8/.

2. VN zdroj NETZGERÄT Pho 1

- a/ zapnúť sieťový vypínač
- b/ nastaviť otočným prepínačom napätie 1300-1400 V
- c/ zapojiť vypínač pre VN napätie

3. Lineárny zosilovač Tesla NAZ 417

- a/ nastaviť prepínač derivačnej konštanty na $50\mu\Delta$
- b/ nastaviť prepínač zisku hrubo na 60 dB
- c/ nastaviť prepínač zisku jemno na 14 dB
- d/ nastaviť prepínač integračnej konštanty na $5\mu\Delta$
- e/ nastaviť prepínač vstupu na minus
- f/ zapnúť sieťový vypínač

4. Súradnicový zapisovač BAK 5T

- a/ zosilovač súradnice X - nastavenie citlivosti V/cm na hodnotu 2
- b/ časová základňa - prepínač nastavíme na hodnotu 20 mm/s
- c/ zapnúť sieťový vypínač
- d/ zapnúť vypínač elektrostatického prisávania záznamového papiera.
- e/ zapnúť servomotor
- f/ spustiť písacie pero do pracovnej polohy

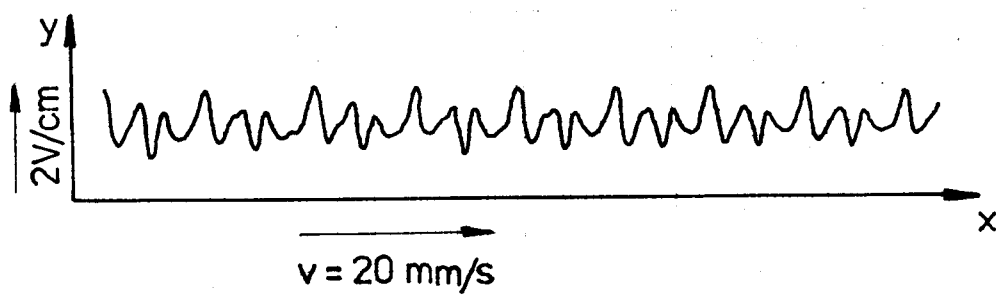
5. Jednosmerný elektromotor

Nastaviť regulačným transformátorom otáčky na 86 ot/min.

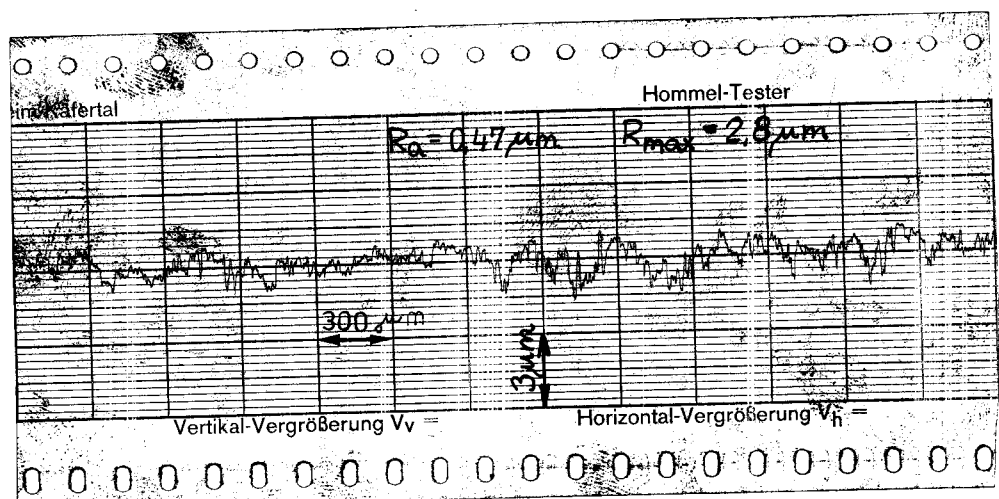
6.0.0. Namerané hodnoty

V prvom prípade, keď bola štrbina v horizontálnej polohe, merali sme nesúoslosť obalovej kriky vzorku s jeho osou rotácie. V druhom prípade bola štrbina vo vertikálnej polohe a merala sa drsnosť vzorku. Namerané hodnoty zaznamenával súradnicový zapisovač na milimetrový papier. Prístroje boli nastavené podľa popisu v kapitole 5.0.0.

Na vzorku č. 1 je na grafe č. 1 zaznamenaná nesúoslosť osi obrobku a osi rotácie. Posuv v X-ovej súradnici bol 20 mm/s. Y-ová súradnica bola nastavená na citlivosť 2 V/cm. Pri tomto nastavení ak nebude uvedené inak, prebiehali všetky merania. Drsnosť nebola modulačnou tangenciálnou metódou nameraná. Na grafe č. 2 je zaznamenaná drsnosť vzorku č. 1, ktorá bola nameraná na zariadení Hommel tester snímačom TFE 100.

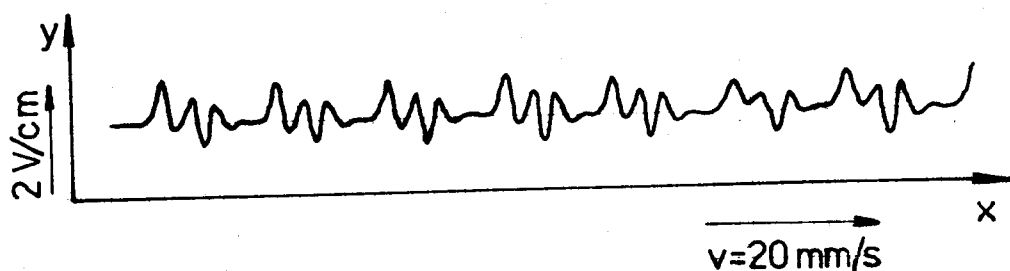


graf č. 1

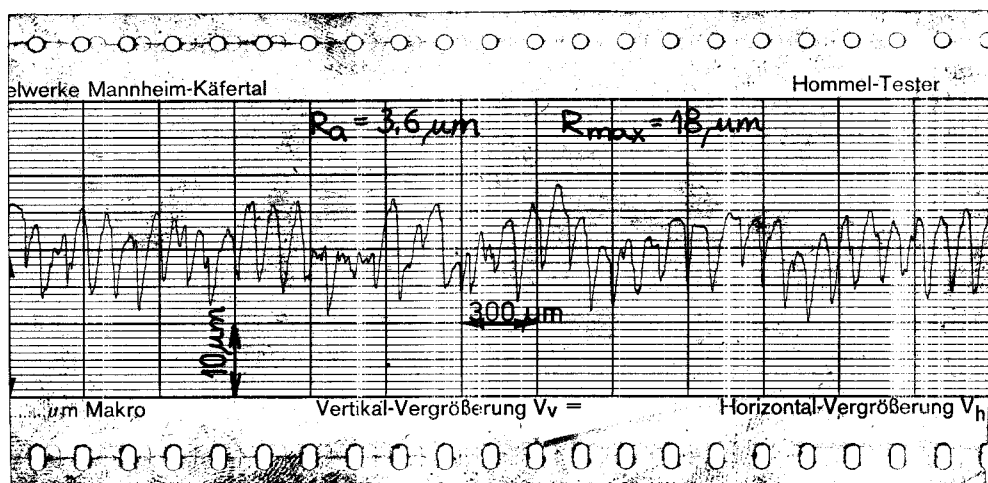


graf č. 2

Na vzorke č. 2 boli namerané obdobné hodnoty ako u vzorky č. 1. Na grafe č. 3 je znázornená nesúosost' osi obrobku s osou rotácie, a na grafe č. 4 je zaznamenaná drsnosť vzorku nameraná na zariadení Hommel tester snímačom TFE 100. Modulačnou tangenciálnou metódou drsnosť obrobku nebola nameraná.

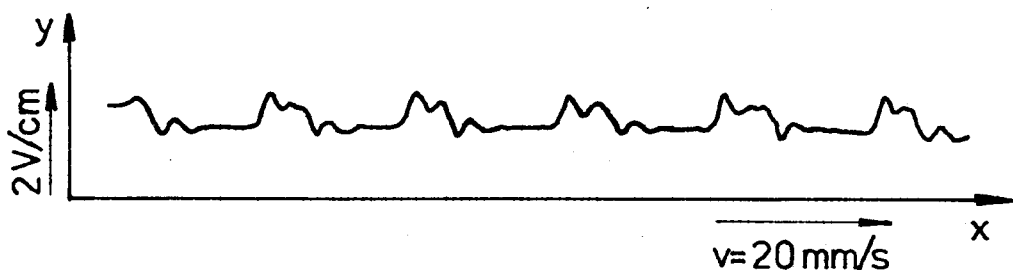


graf č. 3

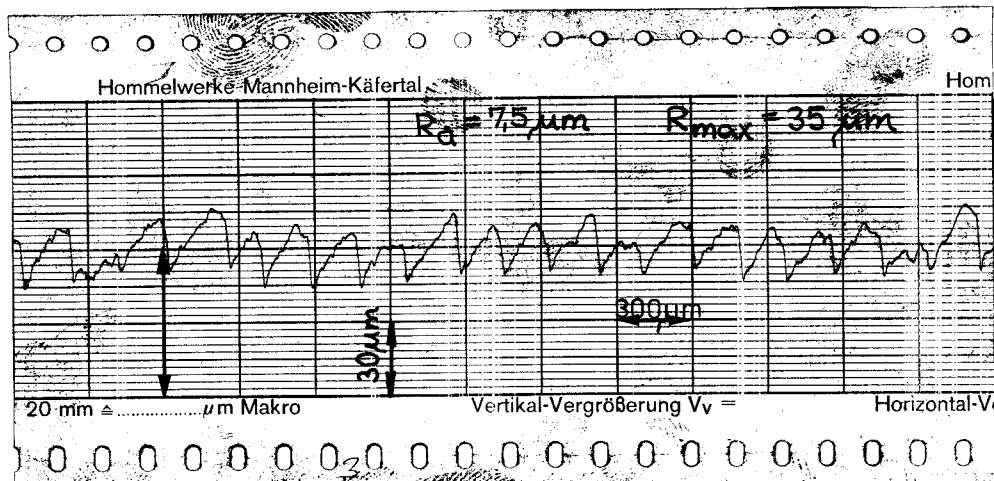


graf č. 4

Na vzorke č. 3 ako u predchádzajúcich vzoriek bola nameraná laserovou modulačnou tangenciálnou metódou iba nesúosť osi obrobku s osou rotácie, ktorá je zaznamenaná na grafe č. 5. Drsnosť vzorku bola nameraná iba zariadením Hommel testerom so snímačom TFE 100 a je znázornená na grafe č. 6.

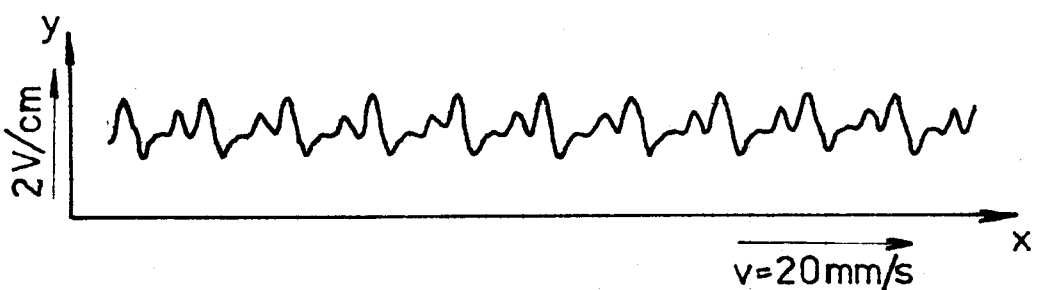


graf č. 5

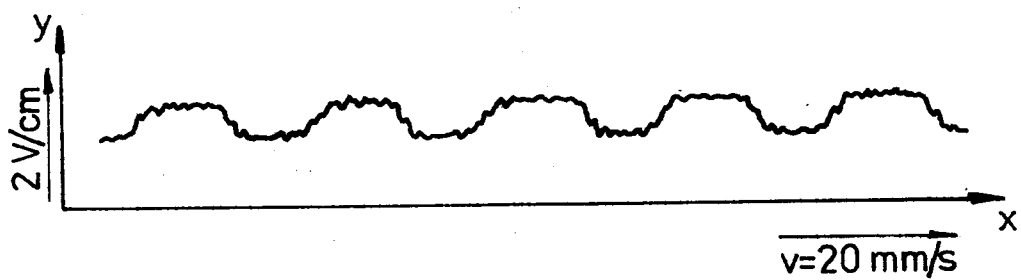


graf č. 6

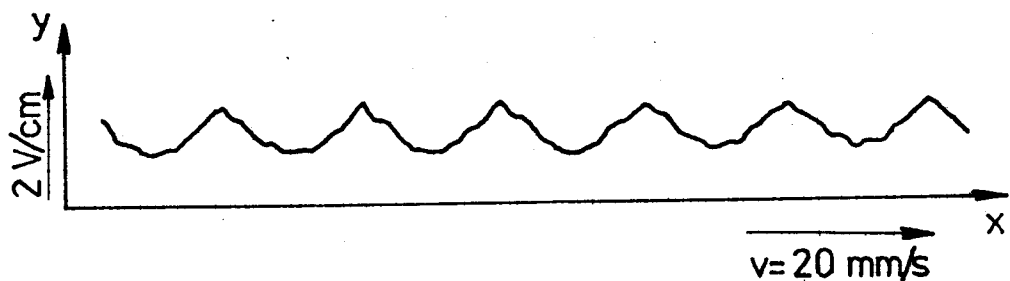
Na vzorke č. 4 bola nameraná okrem nesúosostí osi obrubku s osou rotácie graf č. 7 aj drsnosť, a to drsnosť pozdĺžna /v smere rezu/, ako aj drsnosť priečna /kolmá na smer rezu/. Drsnosť pozdĺžna je znázornená na grafe č. 8. Bola nameraná tak, ako nesúososť, štrbina však bola roztvorená na 0,7 mm. Drsnosť priečna je znázornená na grafe č. 9. Táto drsnosť bola meraná tak, že štrbina bola vo vertikálnej polohe. Drsnosť meraná na Hommel teste /drsnosť priečna/ je zaznamenaná na grafe č. 10. Bola nameraná snímačom TF 300.



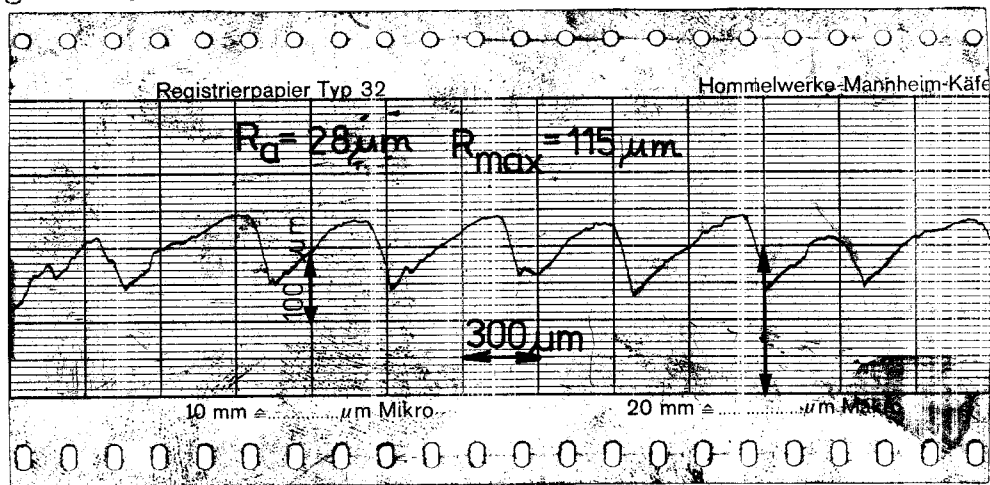
graf č. 7



graf č. 8

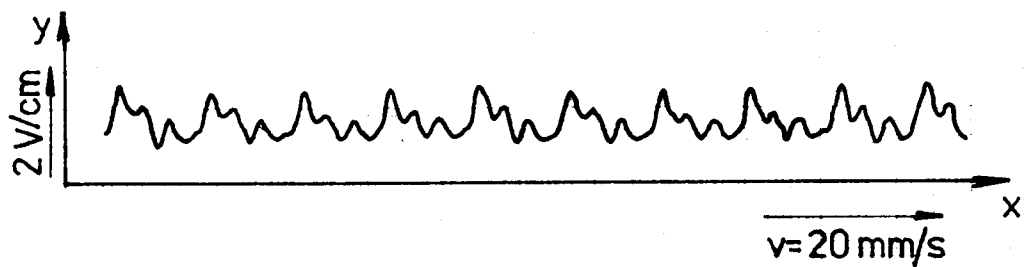


graf č. 9

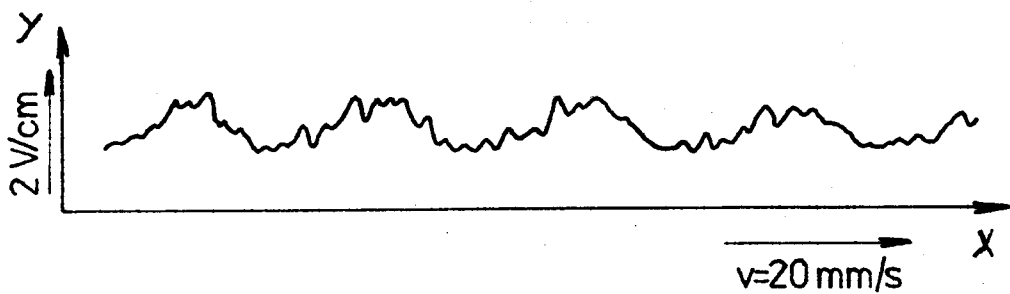


graf č. 10

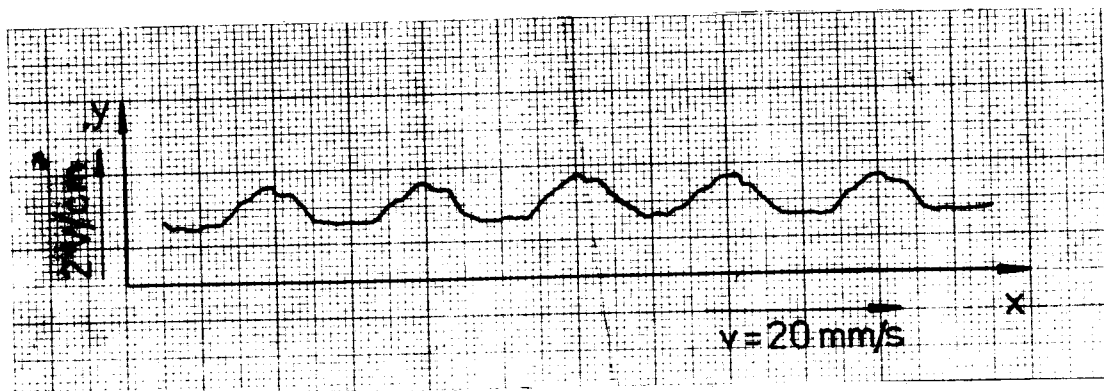
Na vzorke č. 5 sa podobne ako na vzorke č. 4 podarilo namerat vedľa nesúosnosti aj drsnosť, a to v pozdĺžnom i v priečnom smere. Nesúosnosť vzorku je zaznamenaná na grafe č. 11. Drsnosť pozdĺžna je na grafe č. 12. Drsnosť priečna je na grafe č. 13. Drsnosť meraná na Hommel teste je zaznamenaná na grafe č. 14. Bola nameraná snímačom TF 300.



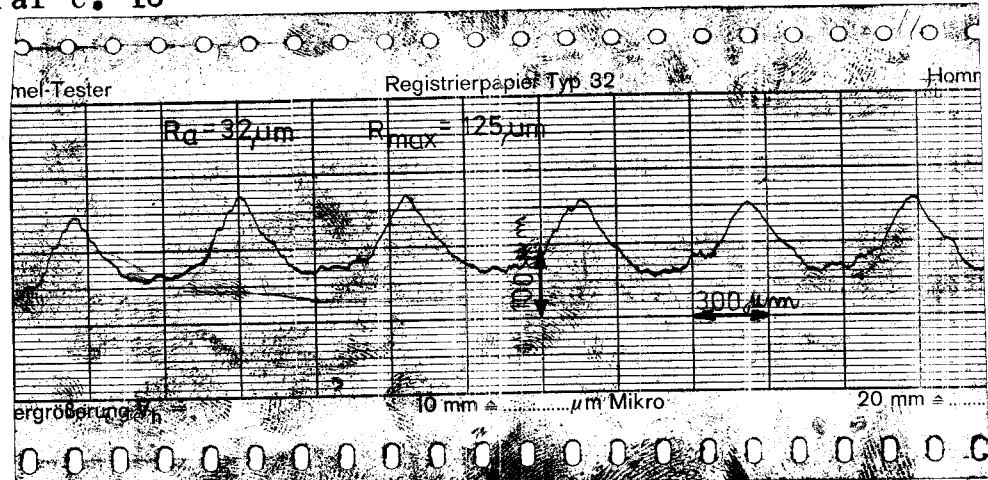
graf č. 11



graf č. 12



graf č. 13



graf č. 14

Nesúososť bola ešte meraná mechanickým úchylkomerom. Hodnoty namerané týmto spôsobom sú v tab. č. 2. Podľa týchto hodnôt sa dajú grafy nesúososti namerané laserovou technikou ociaťovať.

Hodnoty zväčšení, ktoré boli použité pri meraní na zriadení Hommel tester sú uvedené v tabuľke č. 3.

Tab. č. 2

Vzorka	Odchýlka súosostí mm
1	0,23
2	0,20
3	0,03
4	0,08
5	0,08

Tab. č. 3

Vzor-ka	Ra/Rmax [μm]	poz-/verti- dĺžne/kálne zväčšenie [μm]	drá-/cutt ha off [mm]	Použitý snímač
1	0,47/2,8	300/3	6,3/0,75	TFE-100
2	3,6/18	300/10	6,3/0,75	TFE-100
3	7,5/35	300/30	6,3/2,5	TFE-100
4	28/115	300/100	6,3/2,5	TF-300
5	32/125	300/100	6,3/2,5	TF-300

7.0.0. Zhodnotenie merania

Ako je vidieť z priložených grafov č. 1 a 3 vzorkov č. 1 a 2, amplitúdy odchýlky súosostí sú približne rovnaké. Na vzorke č. 2, graf č. 3 je medzi jednotlivými rozkmitmi viditeľný výrazný rozdiel v čase trvania nulovej hodnoty signálu oproti grafu č. 1 vzorke č. 1.

Na vzorke č. 3 graf č. 5 je viditeľný ešte viac výrazný rozdiel v čase trvania nulovej hodnoty signálu ako u predchádzajúcich vzoriek, čo odpovedá i veľkosti odchýlky súosostí. Drsnosť u týchto vzoriek nebola nameraná z dôvodu zaštaralých a opotrebovaných prístrojov. Štrbina sa dala zovrieť maximálne na veľkosť otvoru 0,7 mm. Pri menšej medzere ako 0,7 mm sa celá optická sústava nekontrolovalne rozkmitala. V laboratóriu je drevená podlaha a ukotvenie optickej lavice nie je pevné.

Na vzorke č. 4 graf č. 7 a na vzorke č. 5 graf č. 11 je vidieť, že veľkosť odchýlky súosostí je prakticky rovnaká, zaujímavé je to, že krvky sú si celkom podobné, ale vyzerajú, akoby boli zrkadlovo oproti sebe otočené. U obidvoch vzoriek je vidieť na grafoch č. 8 a 12, ktoré znázorňujú pozdĺžnu drsnosť, amplitúdy nesúosostí, na ktorých je táto drsnosť namodulovaná. Keďže hodnoty pozdĺžnej drsnosti na prístroji Hommel tester neboli namerané nedá sa táto drsnosť na grafoch č. 8 a 12 porovnať a ociať.

Na vzorkách č. 4 a 5 sa podarilo nameráť priečnu drsnosť preto, lebo drsnosť hodnoty Ra 28 μ m alebo Ra 32 μ m sa ponáša viac na závit, než na obrobenný povrch.

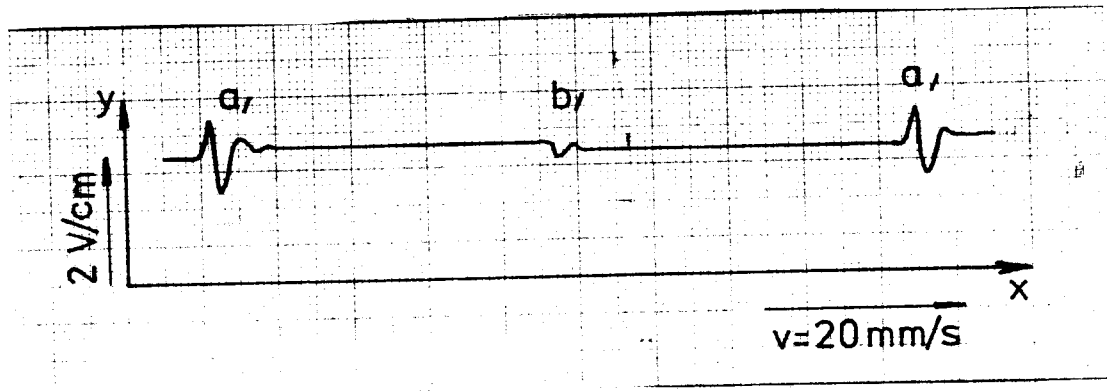
Z tohto dôvodu nemusela byť medzera štrbinu menšia než 0,7 mm a tým sa zabránilo vzniku nekontrolovatelného rozkmitania celej sústavy. Priečna drsnosť vzorku č. 4 je na grafe č. 9 a drsnosť vzorku č. 5 na grafe č. 13. Pre porovnanie je na grafe č. 10 a grafe č. 14 uvedená drsnosť vzor-

kov č. 4 a 5, ktorá bola nameraná na prístroji Hommel tes-
ter.

Z grafu č. 15 je vidieť, že fotonásobič osvetlený plným la-
serovým žiareniom sa zahlcuje:

- a/ pri skokovej zmene intenzity žiarenia na nulovú hodnotu
vznikajú parazitné impulzy,
- b/ pri skokovej zmene z nulovej hodnoty intenzity žiarenia
na plný laserový tok tieto parazitné impulzy nevznikajú.

Preto by bolo vhodné pri budúcom meraní regulovanie
intenzity laserového žiarenia polarizátorom. Optické zaria-
denie použité pri meraní je prispôsobené pre použitie pola-
rizátora. Presný popis kde treba umiestniť polarizátor je
v /6/.



graf č. 15

Z á v e r

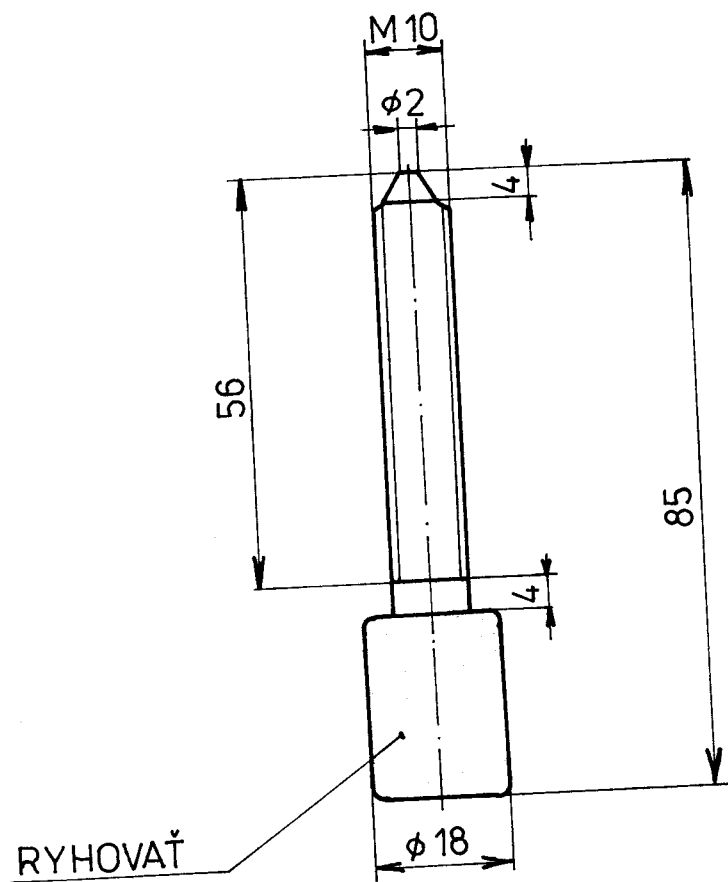
V predloženej diplomovej práci sú zhrnuté poznatky o metódach kontroly obrábaných povrchov.

V ďalších kapitolách je prevedený návrh metódy i návrh konštrukcie zariadenia, ktoré by využívalo modulačnú laserovú techniku k meraniu kvality obrábaných valcových povrchov. Zariadenie bolo odskúšané a bolo dokázané, že je schopné okrem drsnosti merať i odchýlku súosostí. Meranie bolo vykonávané v laboratórnych podmienkach. Bolo zostené experimentálne meracie pracovisko, na ktorom sa meraenia vykonávali.

Ak by bolo možné použitie presnejších, kvalitnejších a modernejších elektronických prístrojov, hlavne lineárneho zosilovača a ak by sa meranie vykonávalo v laboratóriu izolovanom od otрасov, dali by sa namerané hodnoty výrazne spresniť.

P o u ž i t á l i t e r a t ú r a

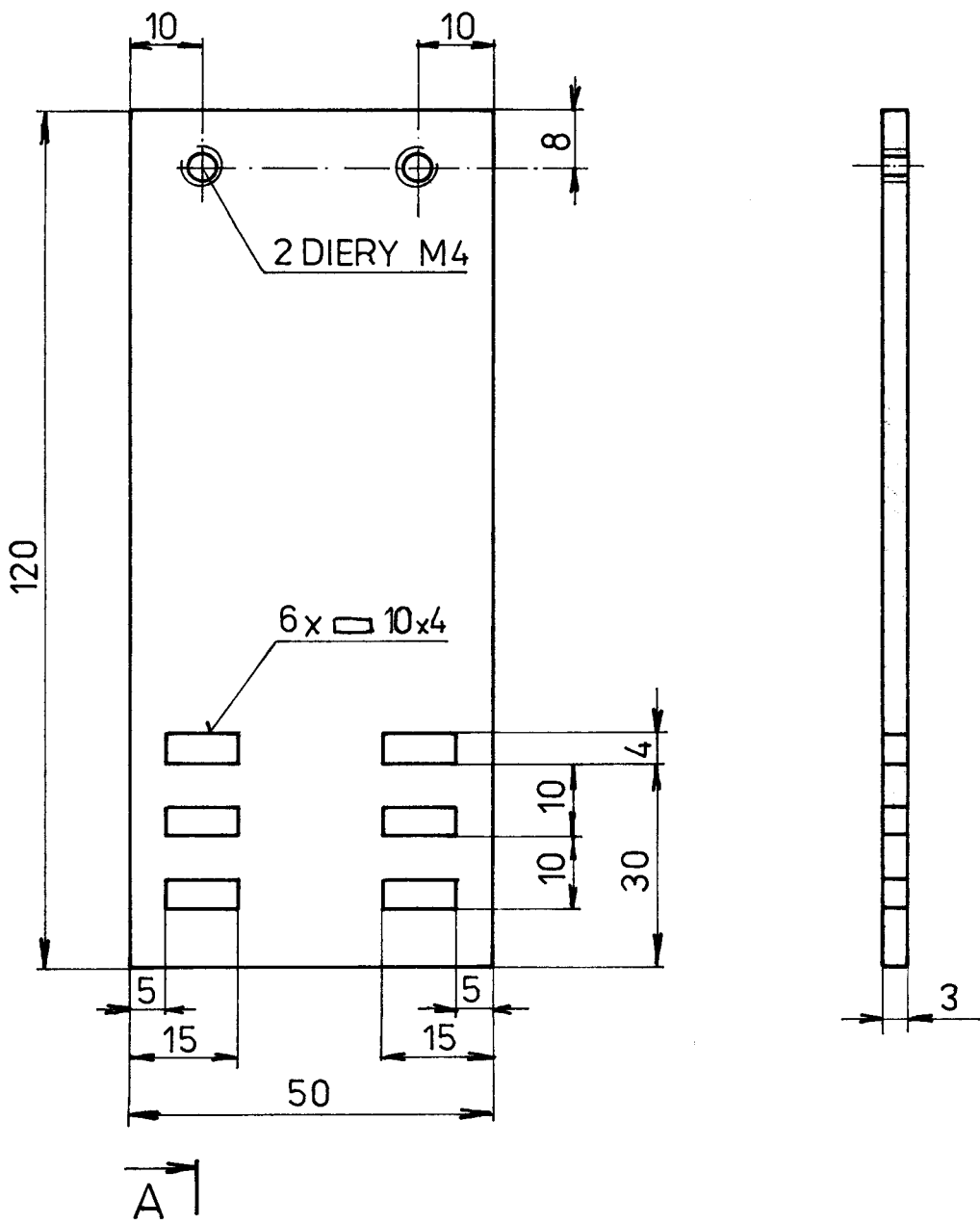
1. Dráb V. Technológia I skriptá VŠST
Liberec 1985
2. Krejčíř O. Základy strojného inžinierstva
skriptá VŠST Liberec 1981
3. Vysloužil Z. Meranie v strojárstve
Zellko J. Alfa 1973
4. Mlčoch Meradlá a meranie v strojárnach
Práca Praha 1955
5. Mlčoch Strojárenská metrologia
ČVUT 1971
6. Ali-Kara-Fallah Diplomová práca VŠST
Liberec 1985
7. Technický popis a návod k obsluhe
súradnicového zapisovača BAK 5T.
Publikácia Závodu priemyselnej automa-
tizácie Čakovice, n.p.
8. Laser LA 1000 Metra Blansko
Návod k obsluhe
9. Sodomka L. Strojárenská ročenka
Bratislava Alfa 1984
10. Sodomka L. Strojárenstvo 33 1983, č. 8
Govindaraj M.
11. Govindaraj M. Kandidátska práca VŠST Liberec 1982
12. Sodomka L. JMO 1982, č. 4
13. Sando T et al IEEEJ Quantum Electronics
QE - 31967 No. 11
14. Hanzl J. Kandidátska disertačná práca VŠST 1985



ZRAZIT HRANY 1,5 x 45°

TYC	ČSN425510	11500	Ø 18-85	
		Material		
		Zmeny		
1:1	WAGNER	Stroj výkres		
		1	2	
		3	4	
VŠST	SKRUTKA 2			4-KOM-OM-565-00-02
LIBEREC				

1,6

REZ A-A

1:1

PLECH

CSN 425310

10 370.0

3,5x52x122

Technolog

WAGNER

Doklad

Dok

Datum

A

B

C

D

E

F

G

H

I

J

K

L

Starý výkres

1

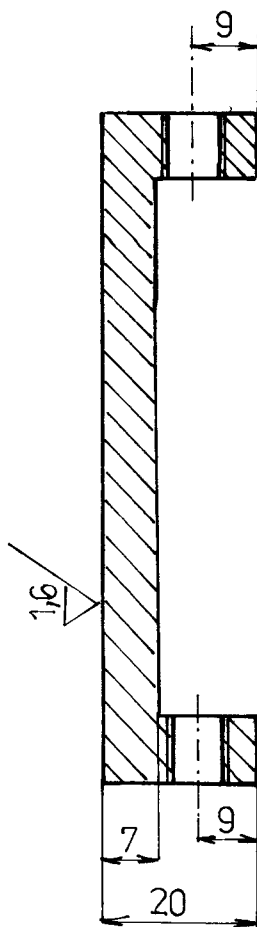
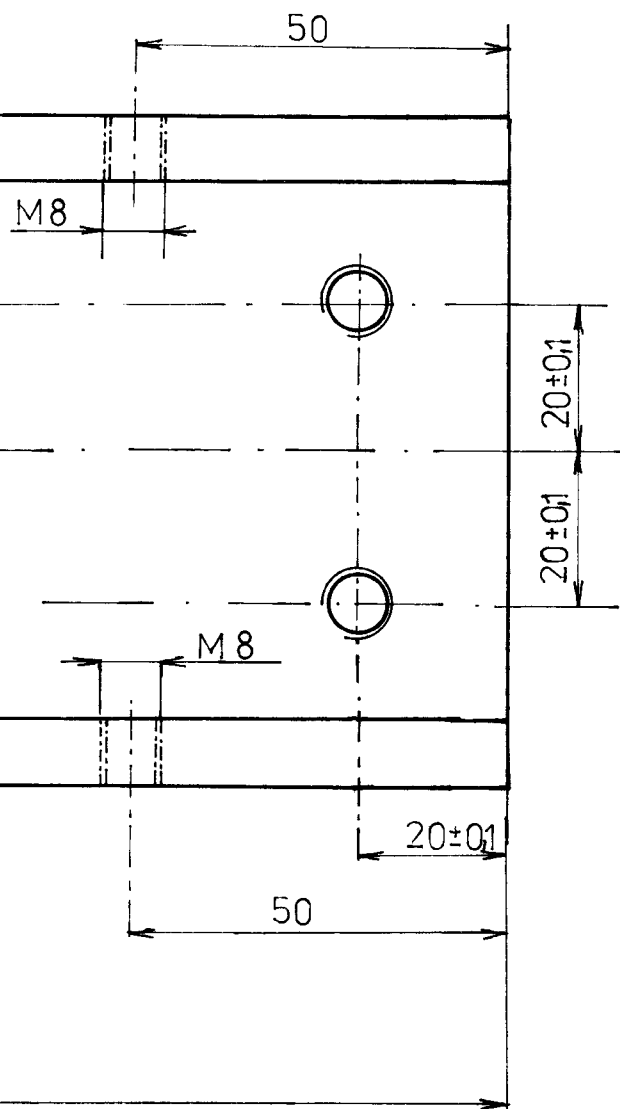
3

4-KOM-0M-565-00-03

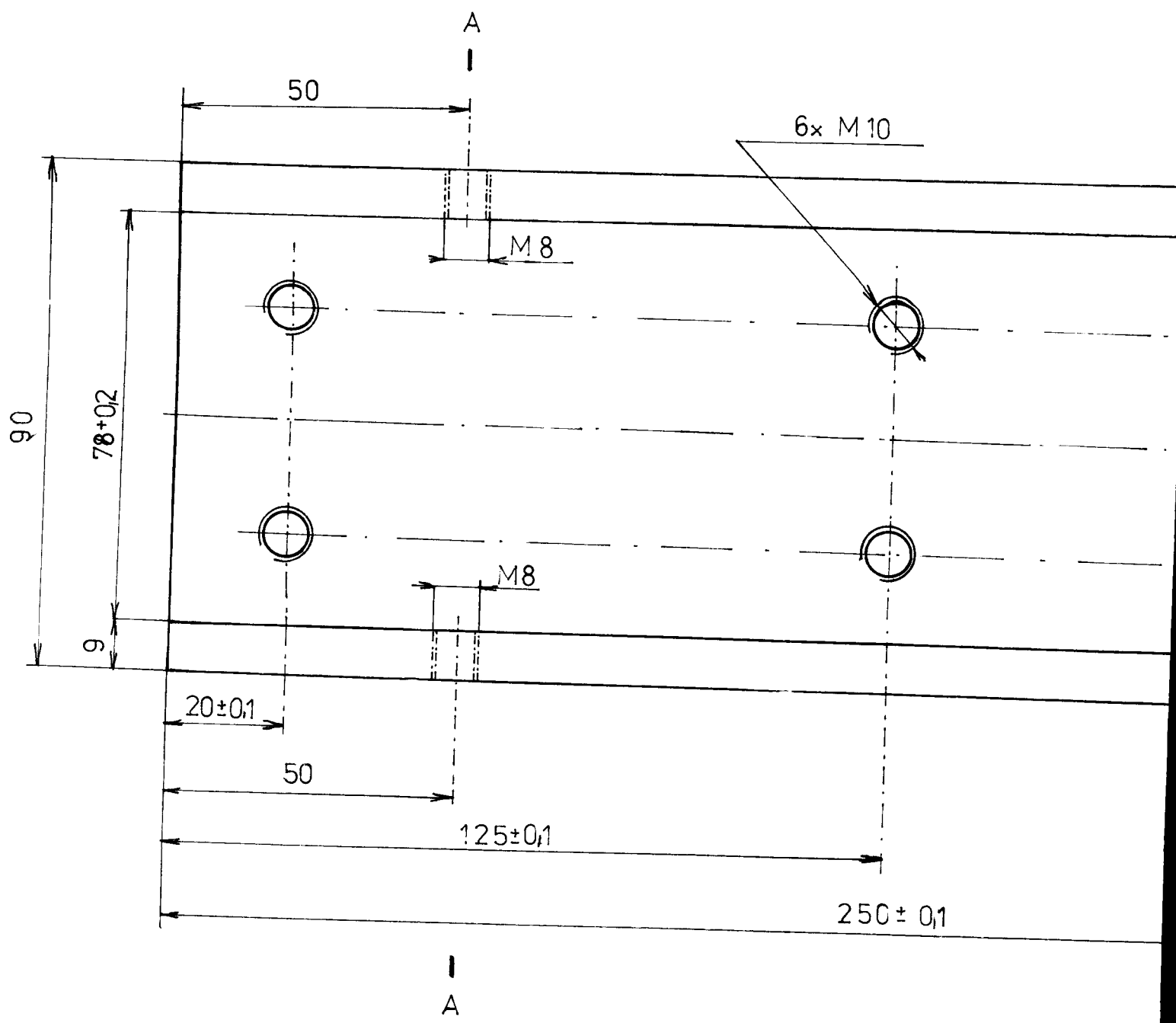
VŠST
LIBEREC NOSNÁ DOSKA

3,2 / (✓)

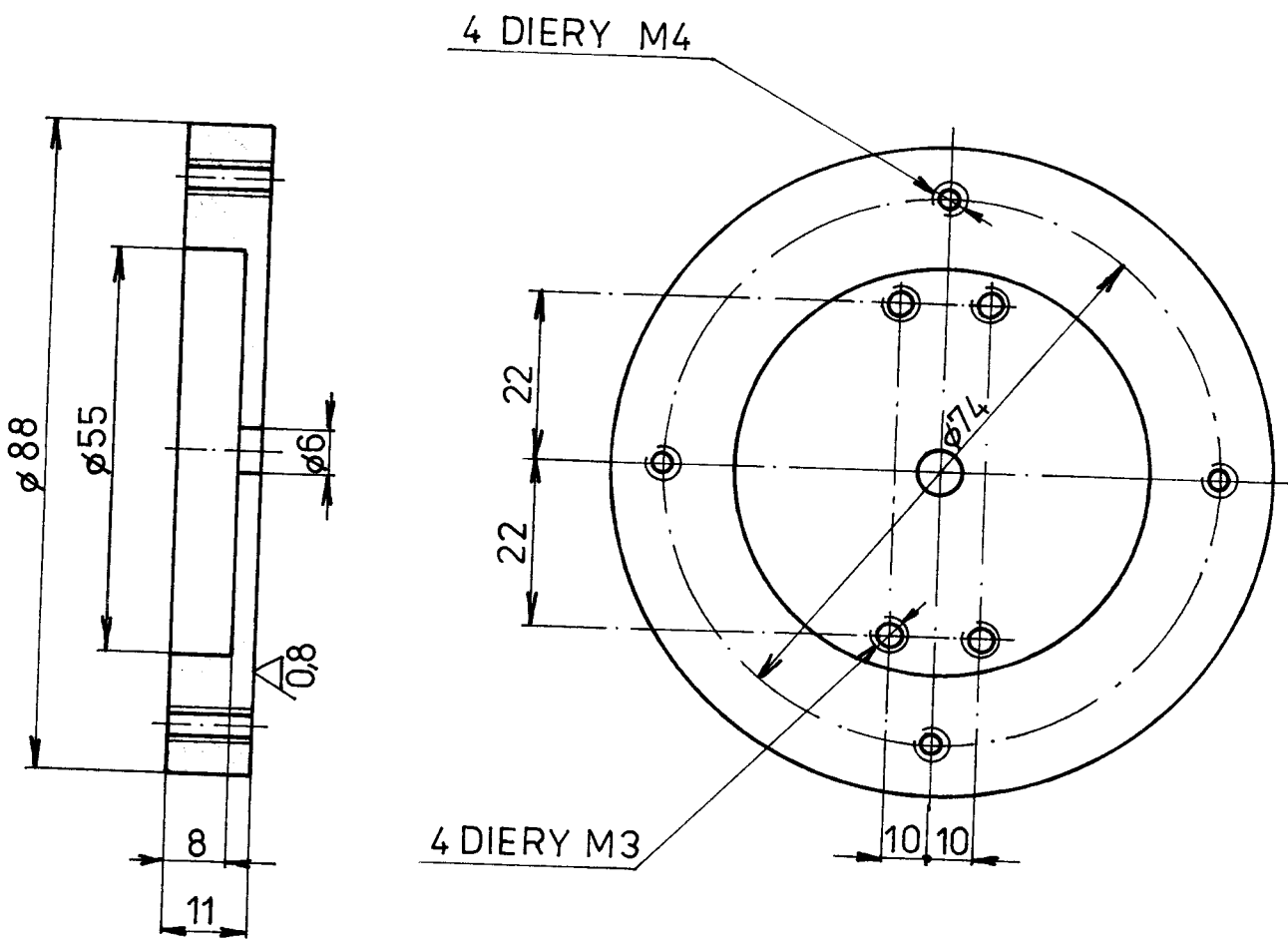
A - A



PLECH	ČSN 425310	11700	22x95x255	
číslo	Plátno - Norma			
Stupeň	Merodlo			
1:1	WAGNER			
VŠST LIBEREC	VEDENIE			
		1	2	
		3	4	
		5	6	
		7	8	
		9	10	
		11	12	
		13	14	
		15	16	
		17	18	
		19	20	
		21	22	
		23	24	
		25	26	
		27	28	
		29	30	
		31	32	
		33	34	
		35	36	
		37	38	
		39	40	
		41	42	
		43	44	
		45	46	
		47	48	
		49	50	
		51	52	
		53	54	
		55	56	
		57	58	
		59	60	
		61	62	
		63	64	
		65	66	
		67	68	
		69	70	
		71	72	
		73	74	
		75	76	
		77	78	
		79	80	
		81	82	
		83	84	
		85	86	
		87	88	
		89	90	
		91	92	
		93	94	
		95	96	
		97	98	
		99	100	
		101	102	
		103	104	
		105	106	
		107	108	
		109	110	
		111	112	
		113	114	
		115	116	
		117	118	
		119	120	
		121	122	
		123	124	
		125	126	
		127	128	
		129	130	
		131	132	
		133	134	
		135	136	
		137	138	
		139	140	
		141	142	
		143	144	
		145	146	
		147	148	
		149	150	
		151	152	
		153	154	
		155	156	
		157	158	
		159	160	
		161	162	
		163	164	
		165	166	
		167	168	
		169	170	
		171	172	
		173	174	
		175	176	
		177	178	
		179	180	
		181	182	
		183	184	
		185	186	
		187	188	
		189	190	
		191	192	
		193	194	
		195	196	
		197	198	
		199	200	
		201	202	
		203	204	
		205	206	
		207	208	
		209	210	
		211	212	
		213	214	
		215	216	
		217	218	
		219	220	
		221	222	
		223	224	
		225	226	
		227	228	
		229	230	
		231	232	
		233	234	
		235	236	
		237	238	
		239	240	
		241	242	
		243	244	
		245	246	
		247	248	
		249	250	
		251	252	
		253	254	
		255	256	
		257	258	
		259	260	
		261	262	
		263	264	
		265	266	
		267	268	
		269	270	
		271	272	
		273	274	
		275	276	
		277	278	
		279	280	
		281	282	
		283	284	
		285	286	
		287	288	
		289	290	
		291	292	
		293	294	
		295	296	
		297	298	
		299	300	
		301	302	
		303	304	
		305	306	
		307	308	
		309	310	
		311	312	
		313	314	
		315	316	
		317	318	
		319	320	
		321	322	
		323	324	
		325	326	
		327	328	
		329	330	
		331	332	
		333	334	
		335	336	
		337	338	
		339	340	
		341	342	
		343	344	
		345	346	
		347	348	
		349	350	
		351	352	
		353	354	
		355	356	
		357	358	
		359	360	
		361	362	
		363	364	
		365	366	
		367	368	
		369	370	
		371	372	
		373	374	
		375	376	
		377	378	
		379	380	
		381	382	
		383	384	
		385	386	
		387	388	
		389	390	
		391	392	
		393	394	
		395	396	
		397	398	
		399	400	
		401	402	
		403	404	
		405	406	
		407	408	
		409	410	
		411	412	
		413	414	
		415	416	
		417	418	
		419	420	
		421	422	
		423	424	
		425	426	
		427	428	
		429	430	
		431	432	
		433	434	
		435	436	
		437	438	
		439	440	
		441	442	
		443	444	
		445	446	
		447	448	
		449	450	
		451	452	
		453	454	
		455	456	
		457	458	
		459	460	
		461	462	
		463	464	
		465	466	
		467	468	
		469	470	
		471	472	
		473	474	
		475	476	
		477	478	
		479	480	
		481	482	
		483	484	
		485	486	
		487	488	
		489	490	
		491	492	
		493	494	
		495	496	
		497	498	
		499	500	
		501	502	
		503	504	
		505	506	
		507	508	
		509	510	
		511	512	
		513	514	
		515	516	
		517	518	
		519	520	
		521	522	
		523	524	
		525	526	
		527	528	
		529	530	
		531	532	
		533	534	
		535	536	
		537	538	
		539	540	
		541	542	
		543	544	
		545	546	
		547	548	
		549	550	
		551	552	
		553	554	
		555	556	
		557	558	
		559	560	
		561	562	
		563	564	
		565	566	
		567	568	
		569	570	
		571	572	
		573	574	
		575	576	
		577	578	
		579	580	
		581	582	
		583	584	
		585	586	
		587	588	
		589	590	
		591	592	
		593	594	
		595	596	
		597	598	
		599	600	
		601	602	
		603	604	
		605	606	
		607	608	
		609	610	
		611	612	
		613	614	
		615	616	
		617	618	
		619	620	
		621	622	
		623	624	
		625	626	
		627	628	
		629	630	
		631	632	
		633	634	
		635	636	
		637	638	
		639	640	
		641	642	
		643	644	
		645	646	
		647	648	
		649	650	
		651	652	
		653	654	
		655	656	
		657	658	
		659	660	</td

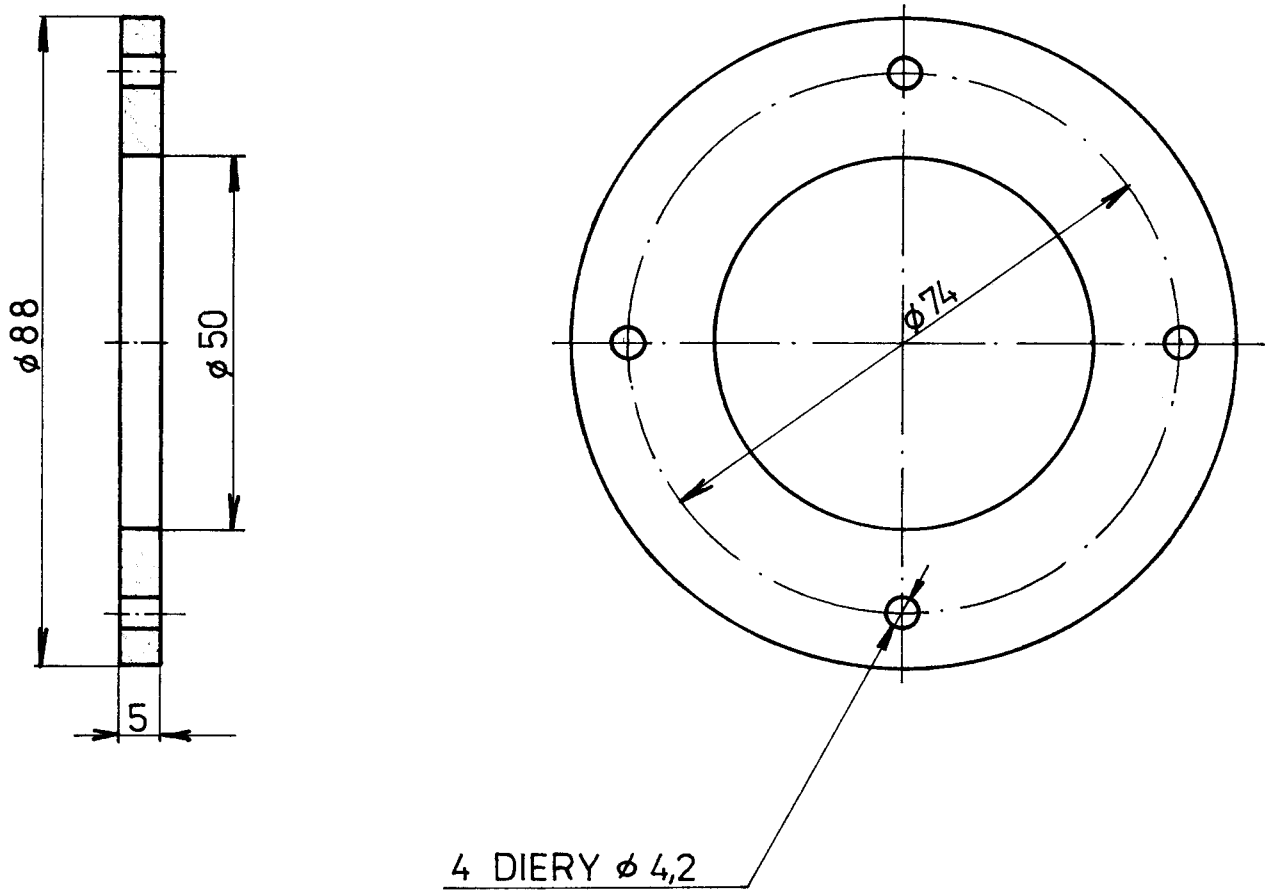


1,6 (✓)

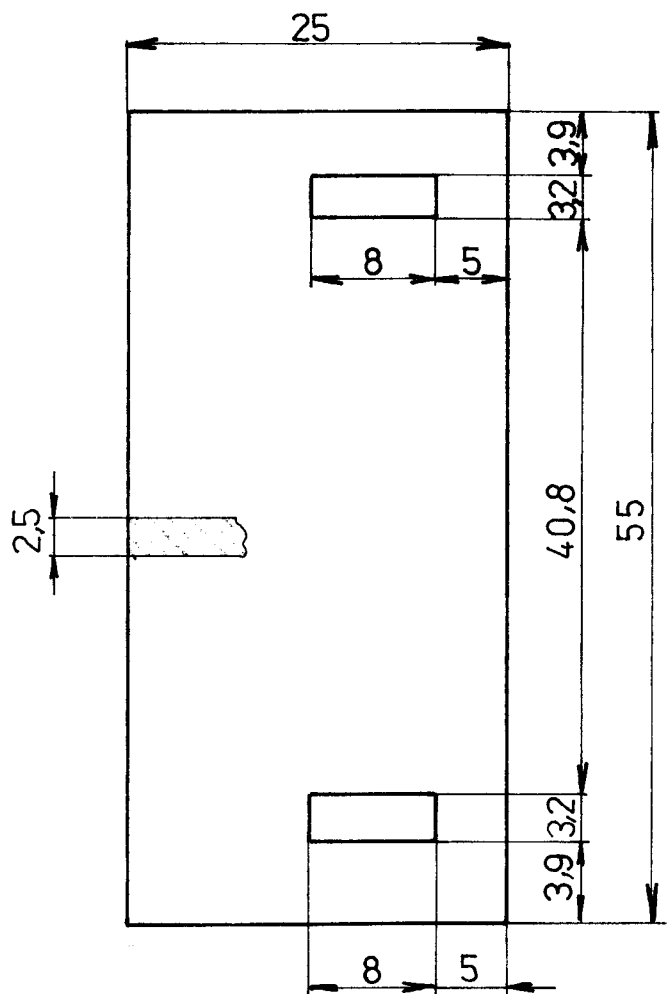


Výrobce - Výrobka		HLÍNK	Ø 88-15
Stupeň	Meradlo	Kontrolor	
1:1	Kredit WAGNER		
	Kontroloval		
	Schválil	Datum	
VŠST LIBEREC	VEKO	Stavba	+
		1	2
		3	4
		4-KOM-0M-565-05-01	

1,6



Cílo částí	Název + Návrh	HЛИНІК Ø 88-7
Stupeň	Materiál:	
1:1	Slevy:	
	Klas.: WAGNER	
	Kontrolní číslo:	
	Štítků:	
VŠST	PRÍRUBA	Stupeň výkresu: 1 2 3 4
LIBEREC		4-KOM-0M-565-05-02



HЛИNÍK 2,5x25x55

Objekt
číslo:
Sípka:

2:1

Kresl. WAGNER

Kresl. číslo:

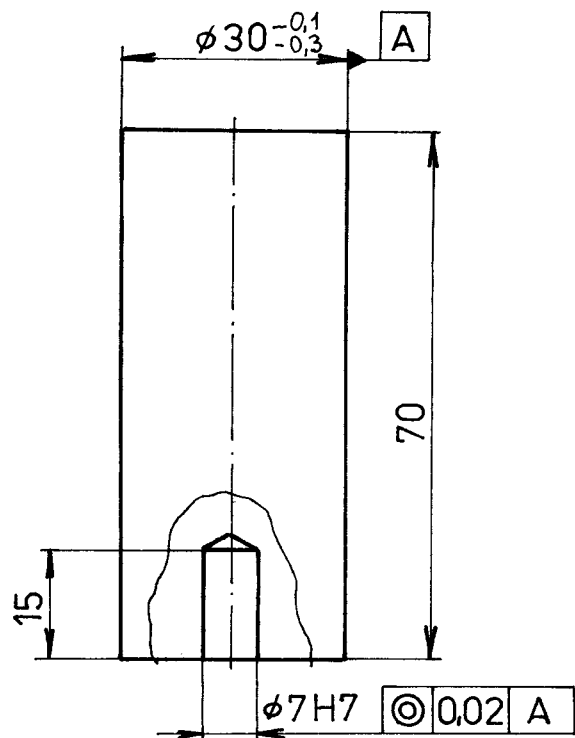
Sípka:

VŠST
LIBEREC

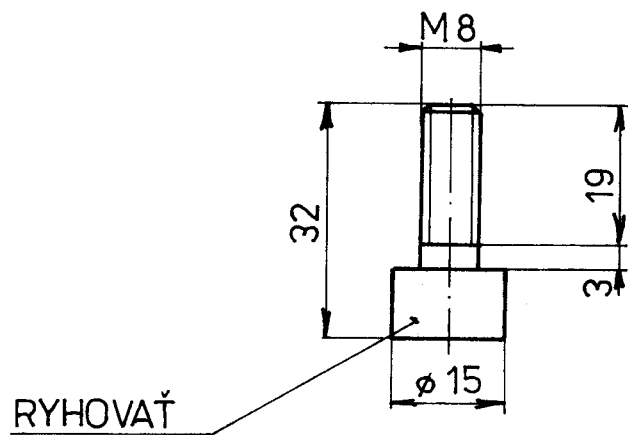
NASTAVOVACIA
DOSKA

Sípky výrobku	
1	2
3	4
5	6

4-KOM-0M-565-05-03



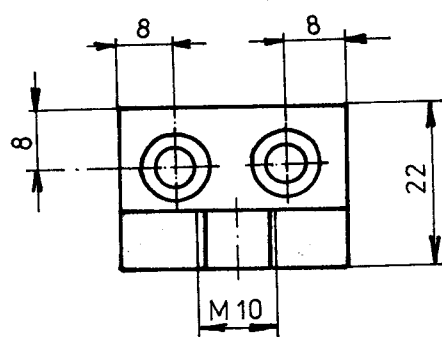
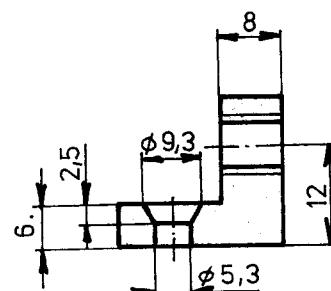
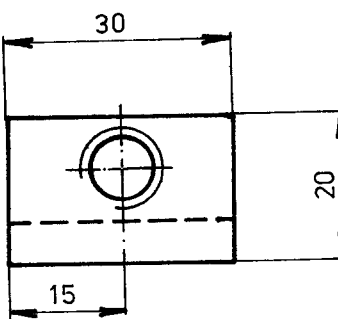
TYC	CSN 425510	11 368	$\phi 32 \times 75$
Číslo testu	Plánový - Norma		
Typ/	Materiál	Pracovní	Pracovní
1:1	WAGNER		
VŠST	VZORKA		
LIBEREC	DRSNOSTI		4-KOM-0M-565-00-06



ZRAZIŤ HRANY 1x45°

TYČ	ČSN 425510	11500	Ø 15-32
Stupeň	1:1	Meradlo	
Meradlo	1:1	Kreslil	WAGNER
Kontroloval		Schválil	Datum
VŠST	SKRUTKA 1	4-KOM-OM-565-00-07	

3,2



TYČ	ČSN 425522	11500	— 30x20-22
Cíle číslo	Výrobek - Návrh	Materiál	Kruž. číslo
Stupeň	Meradlo	Techn. k.	
1:1	WAGNER		
	Kontrol. A		
	Schváil		
VŠST	ÚCHYTKA	Starý výkres	Nový výkres
LIBEREC		1 2	4-KOM-0M-565-00-08
		3 4	